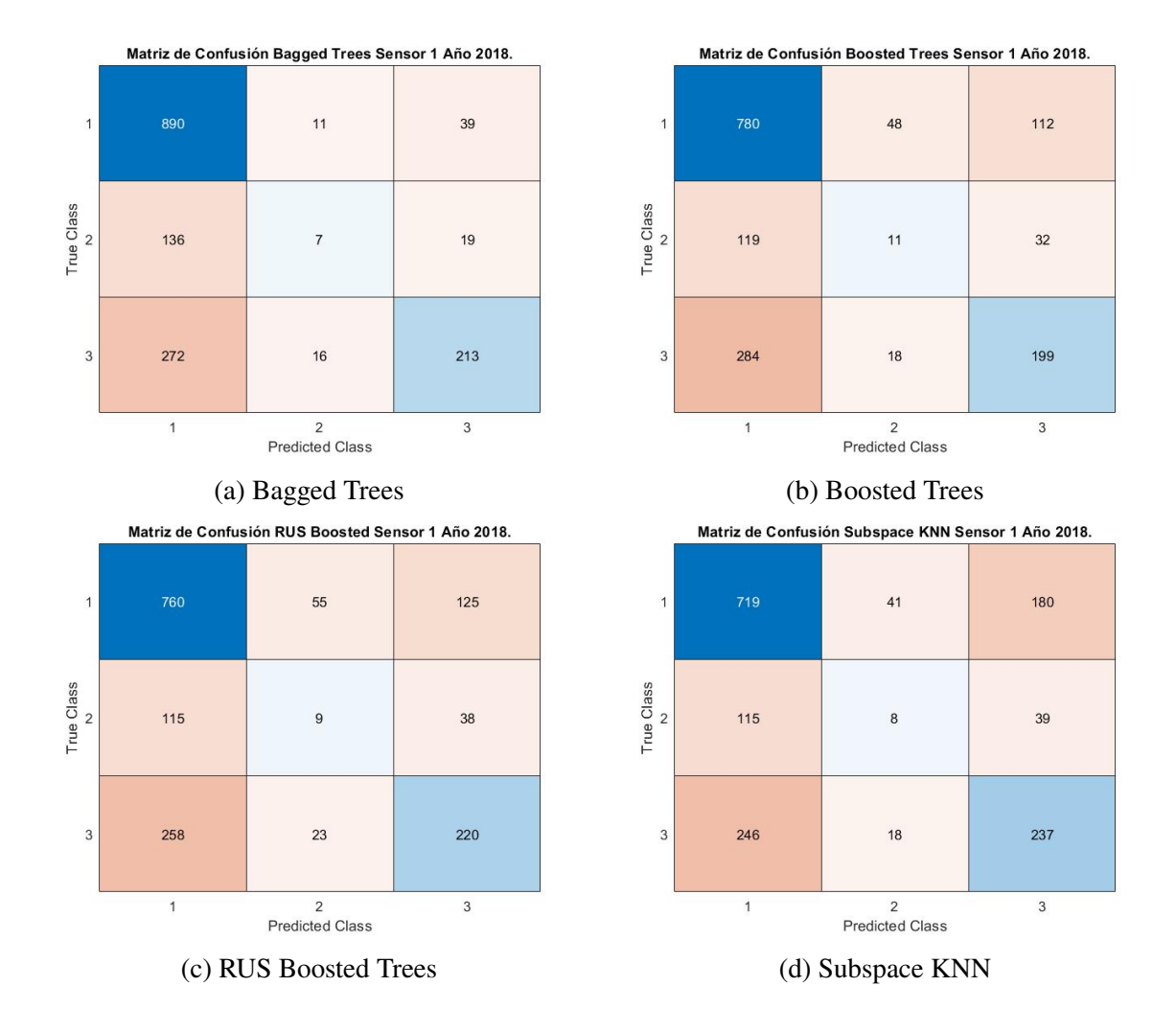
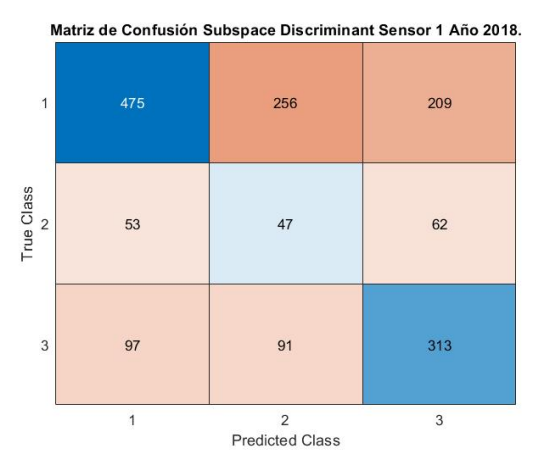
## Capítulo 7

## Anexo Imágenes

En este anexo se van a mostrar las imágenes obtenidas como resultados de nuestros clasificadores.

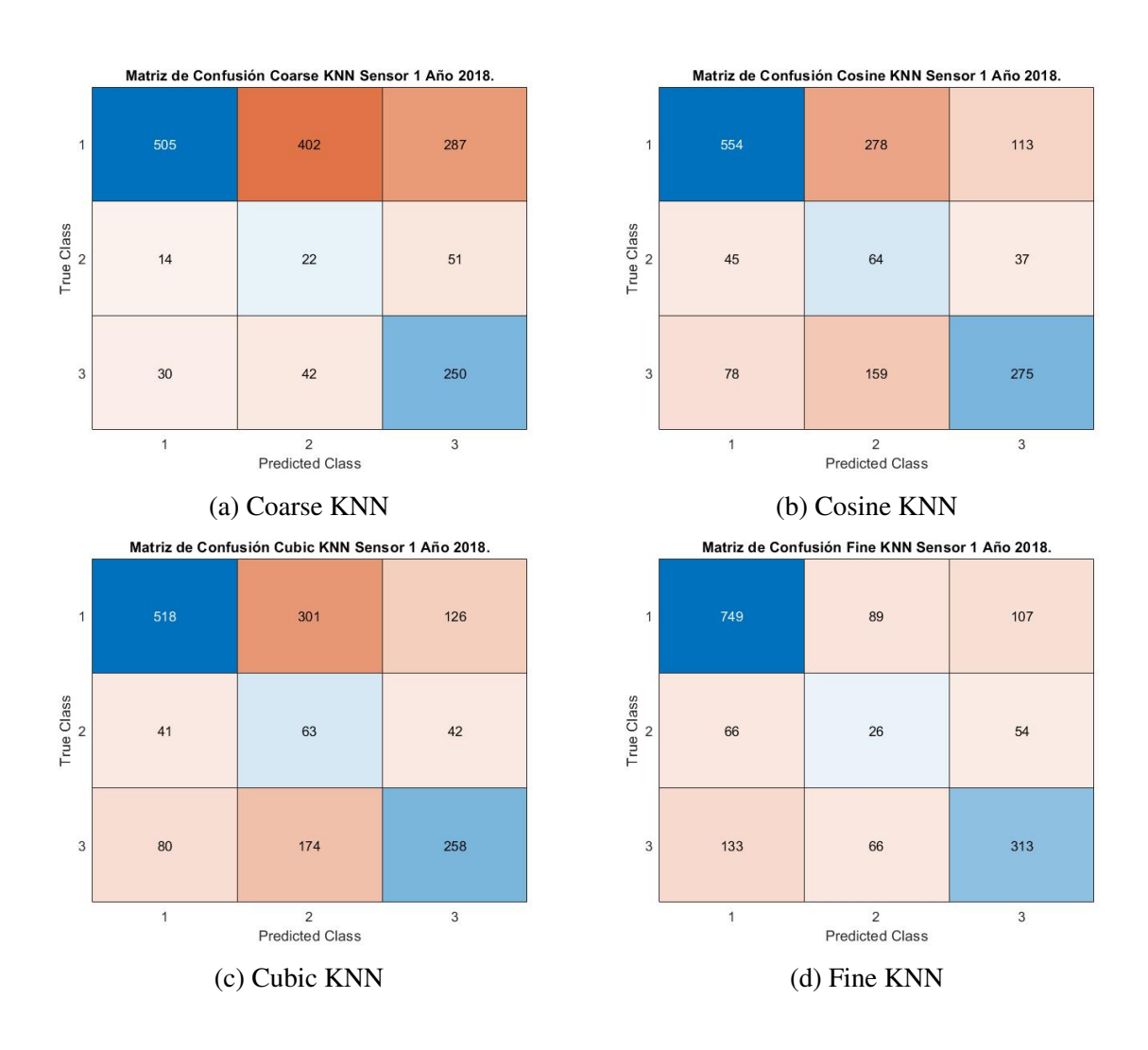
Empezaremos mostrando las matrices de confusión obtenidas por nuestros clasificadores, comenzando por las obtenidas en el sensor uno mediante sobremuestro en 2018:

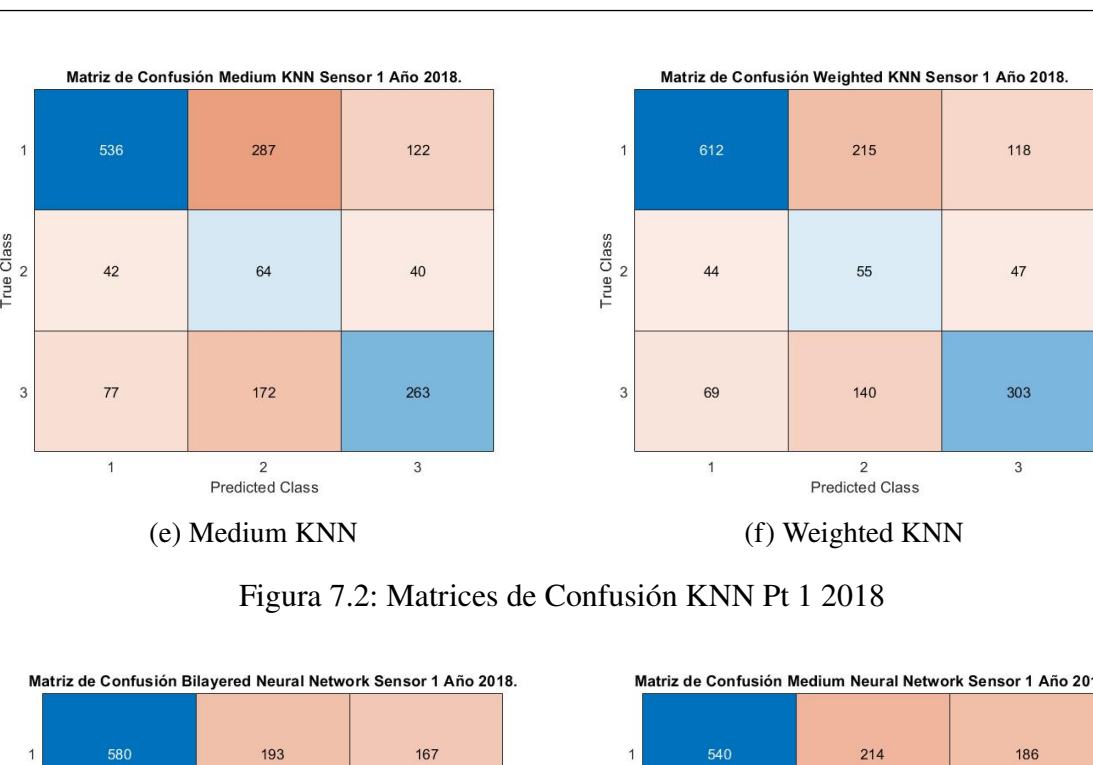


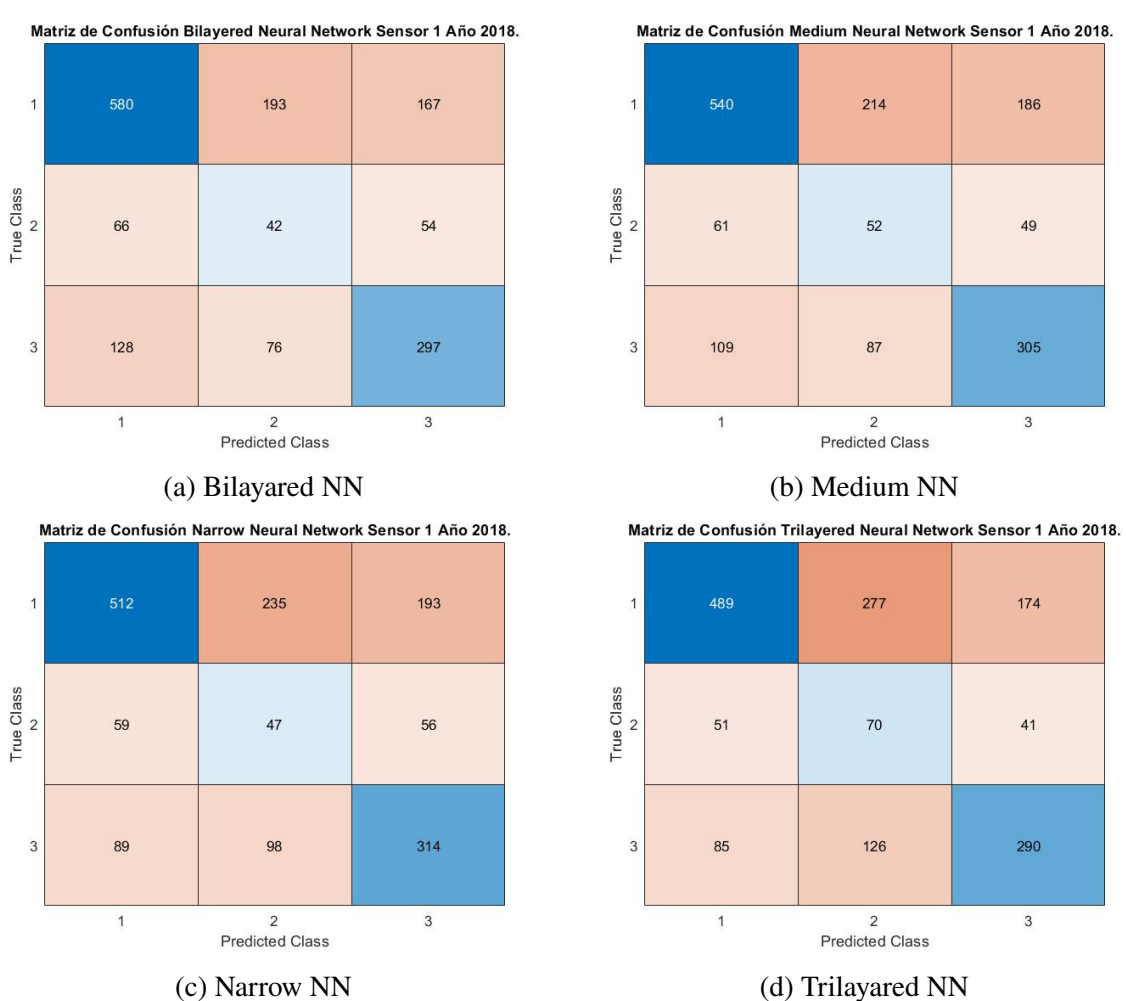


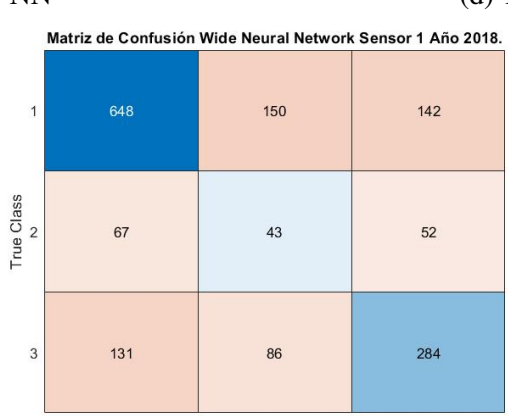
(e) Subspace Discriminant

Figura 7.1: Matrices de Confusión Ensemble Pt 1 2018









Predicted Class

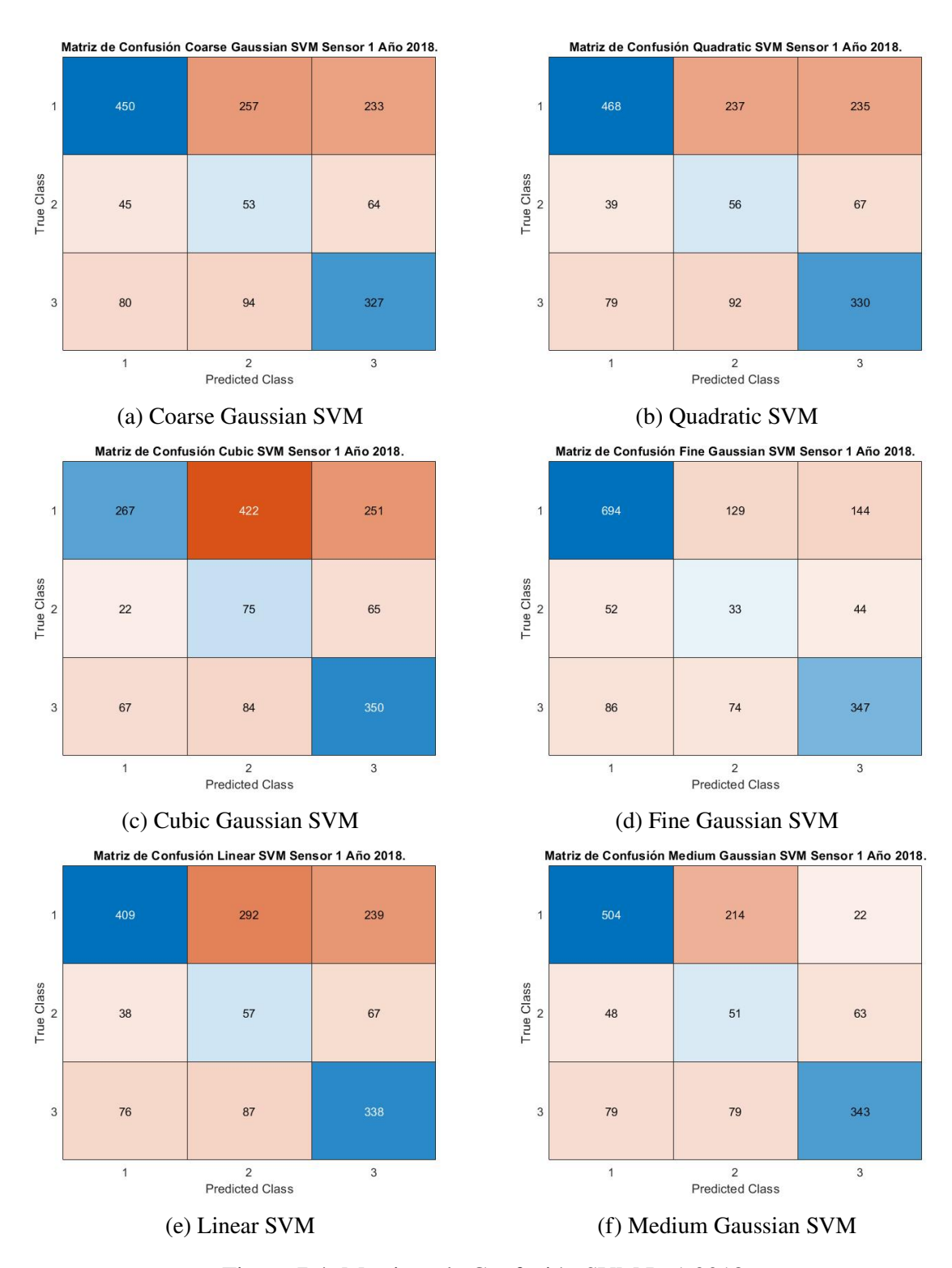


Figura 7.4: Matrices de Confusión SVM Pt 1 2018

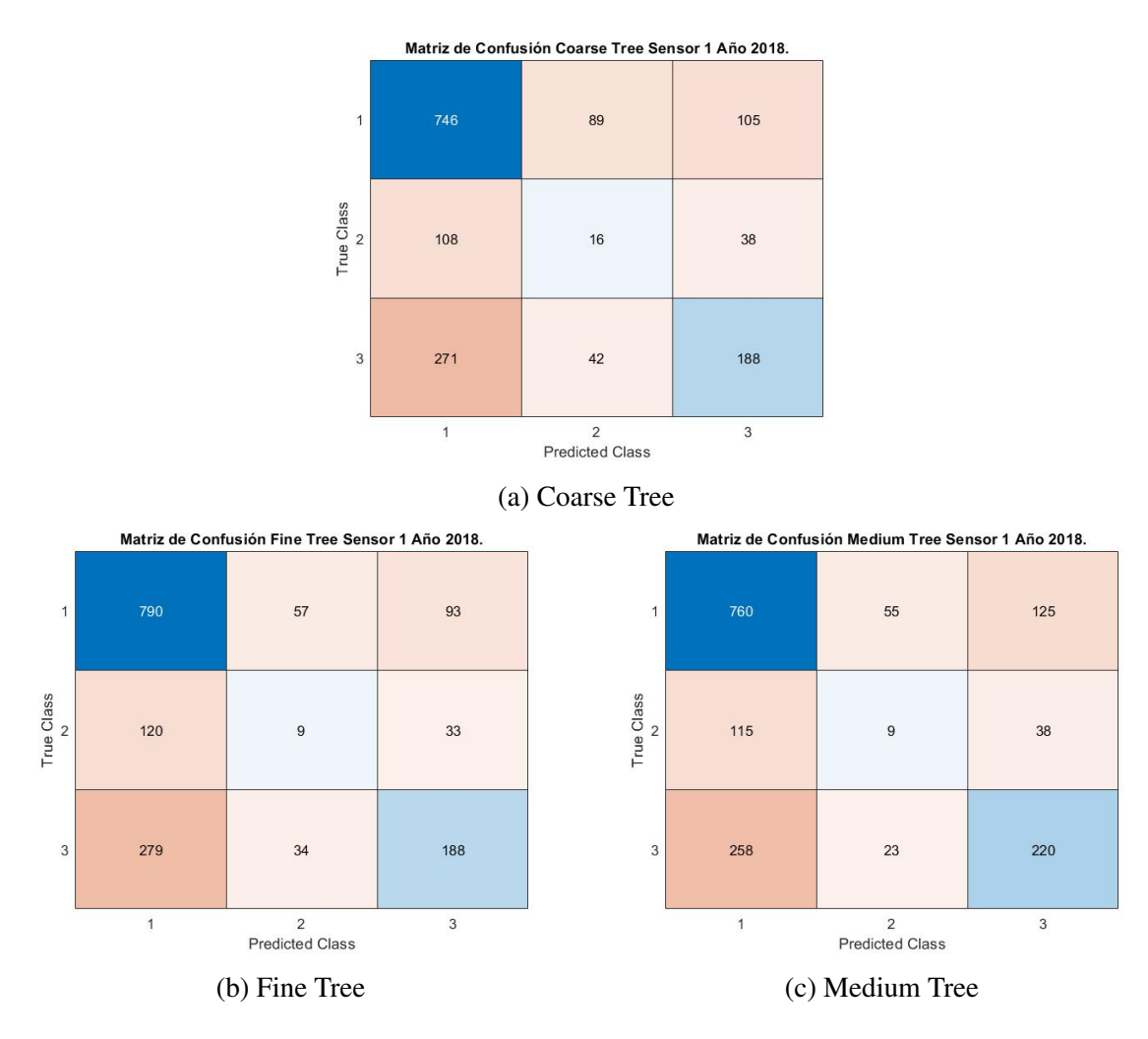
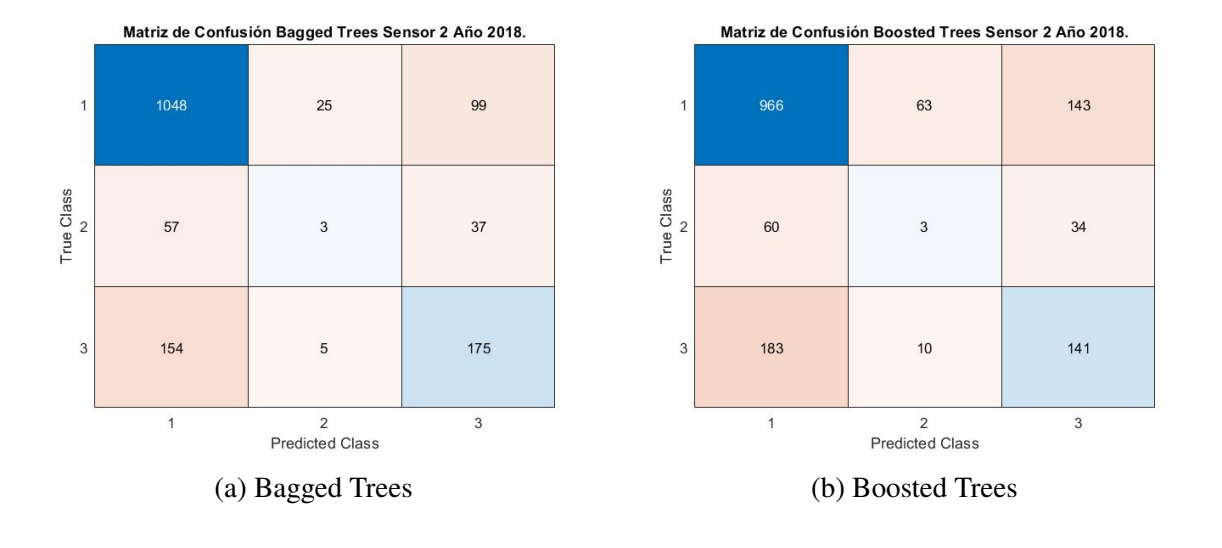


Figura 7.5: Matrices de Confusión Trees Pt 1 2018

En el sensor dos hemos obtenido las siguientes matrices de confusión mediante sobremuestreo en 2018:



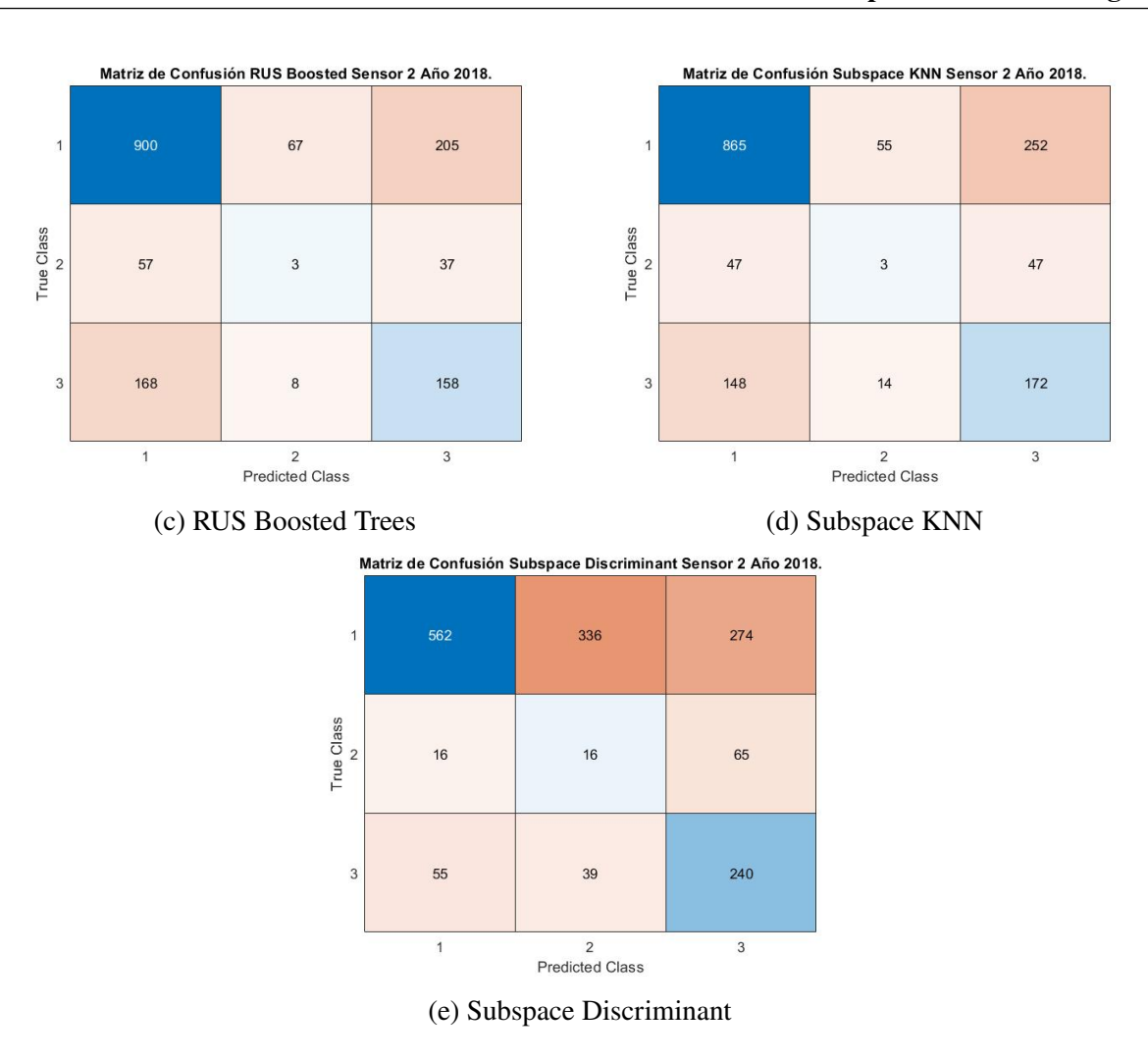
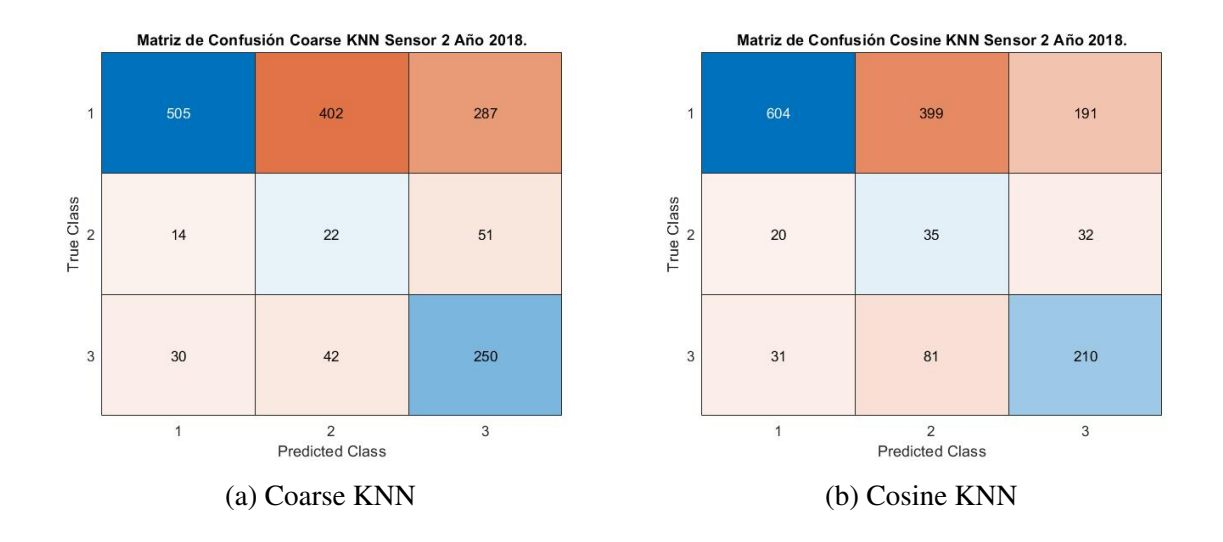


Figura 7.6: Matrices de Confusión Ensemble Pt 2 2018



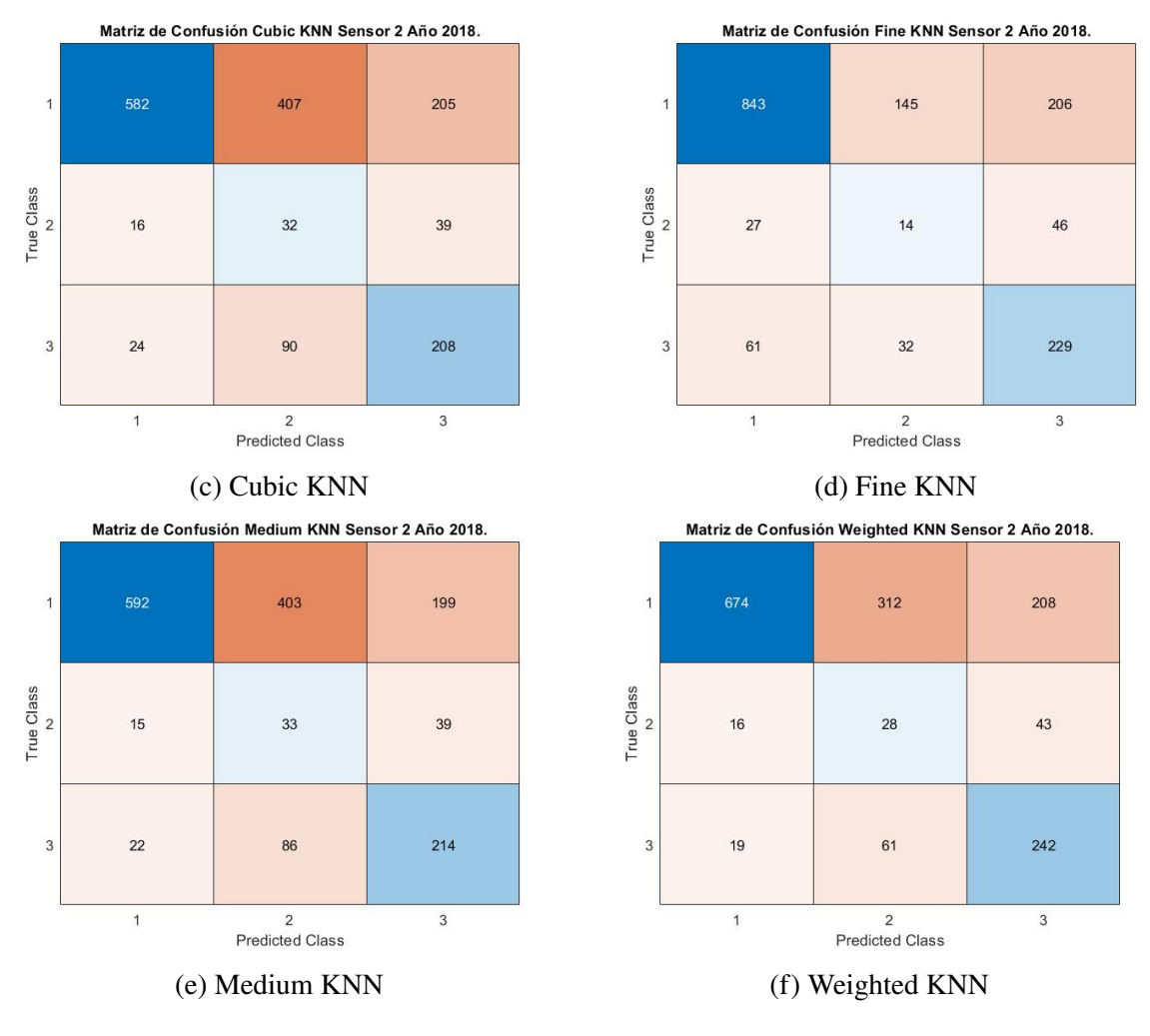
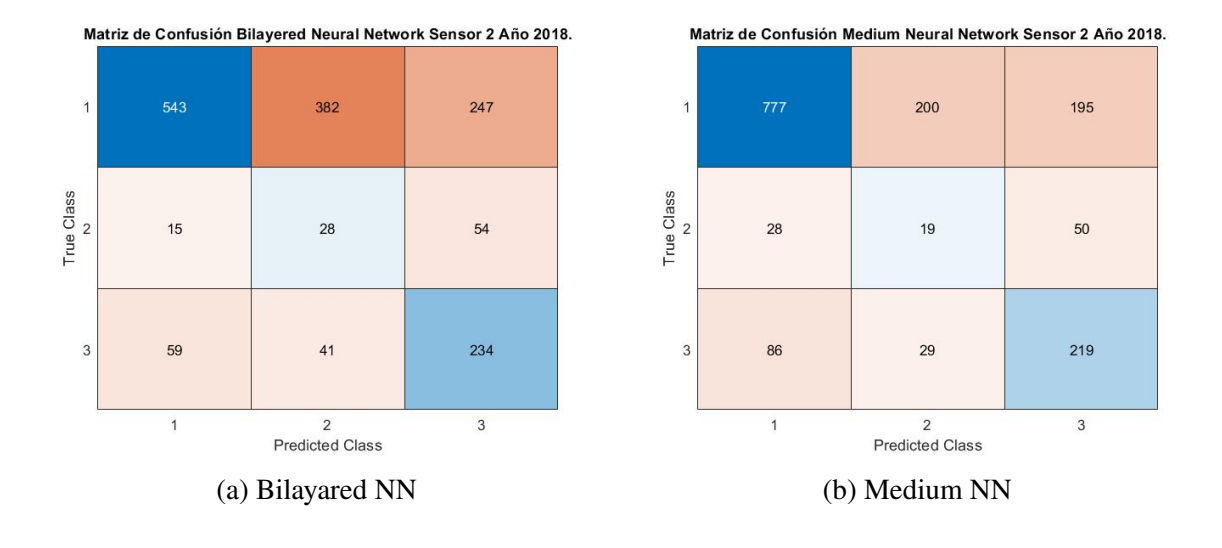
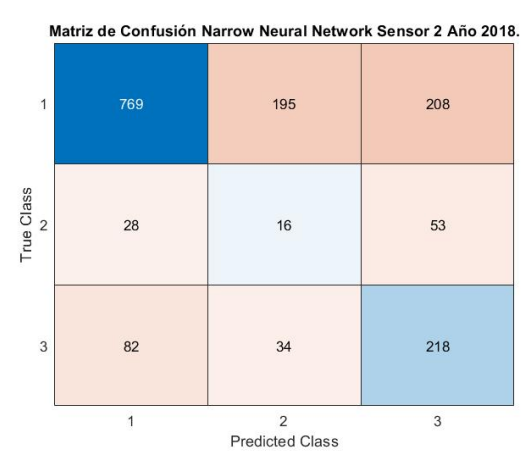
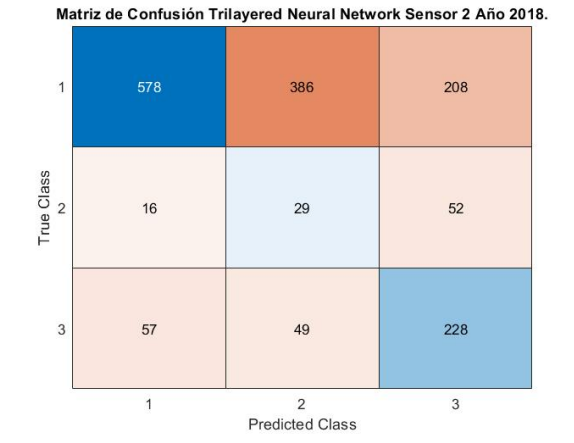


Figura 7.7: Matrices de Confusión KNN Pt 2 2018



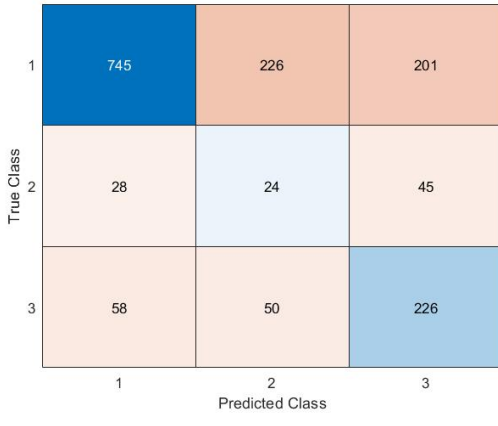




(d) Trilayared NN

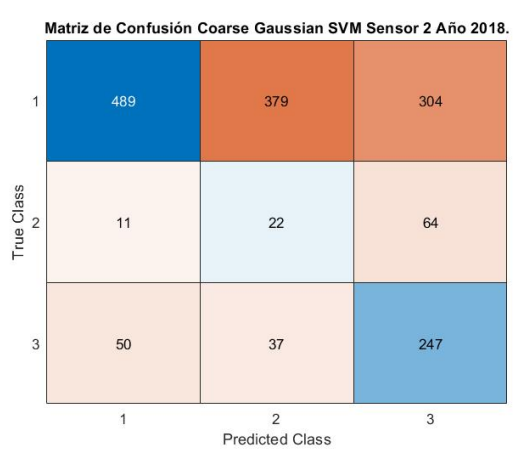
(c) Narrow NN

Matriz de Confusión Wide Neural Network Sensor 2 Año 2018.

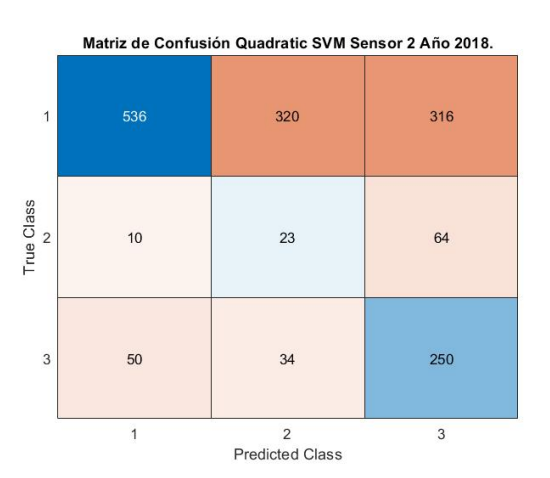


(e) Wide NN

Figura 7.8: Matrices de Confusión Neural Network Pt 2 2018



(a) Coarse Gaussian SVM



(b) Quadratic SVM

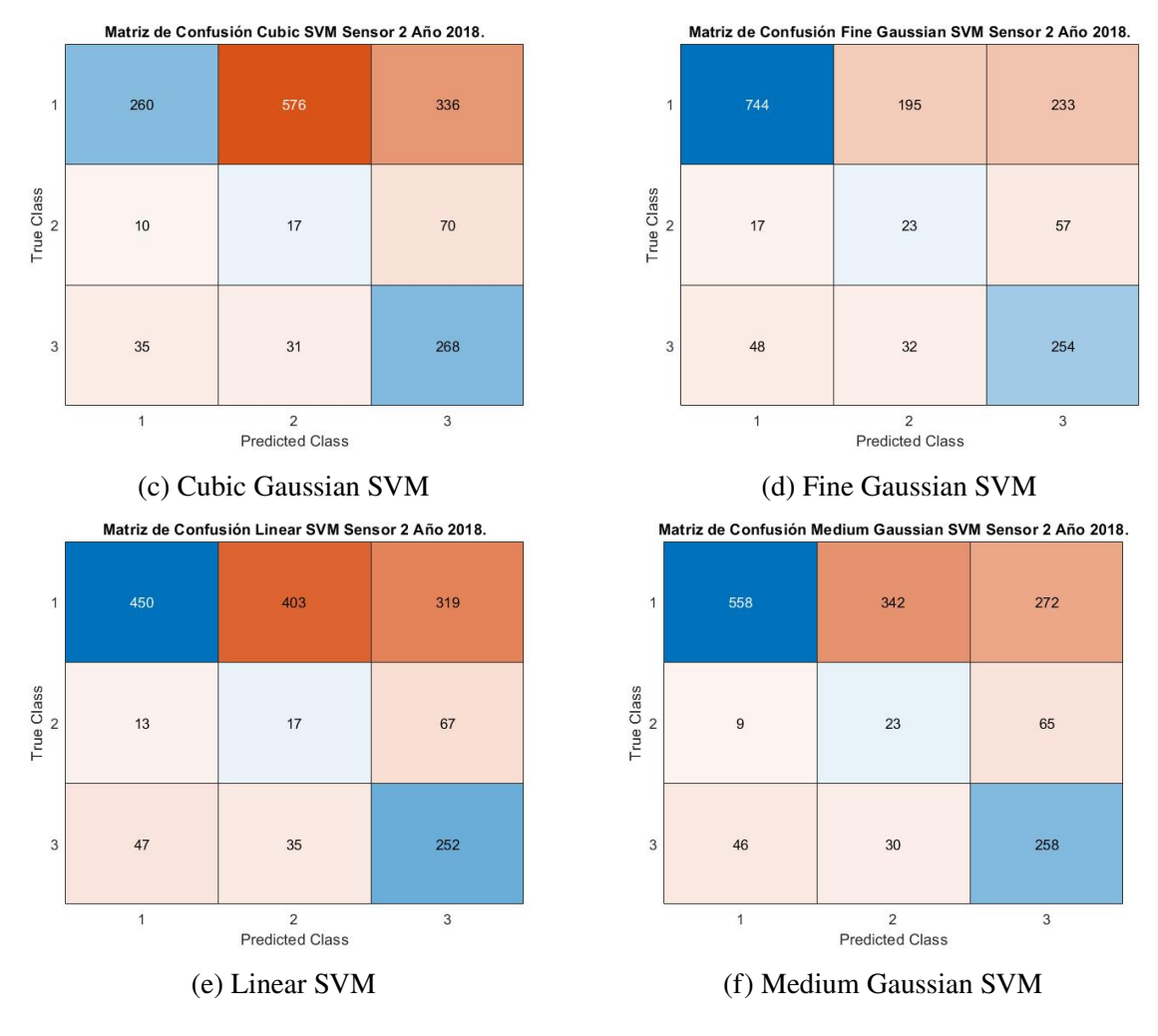
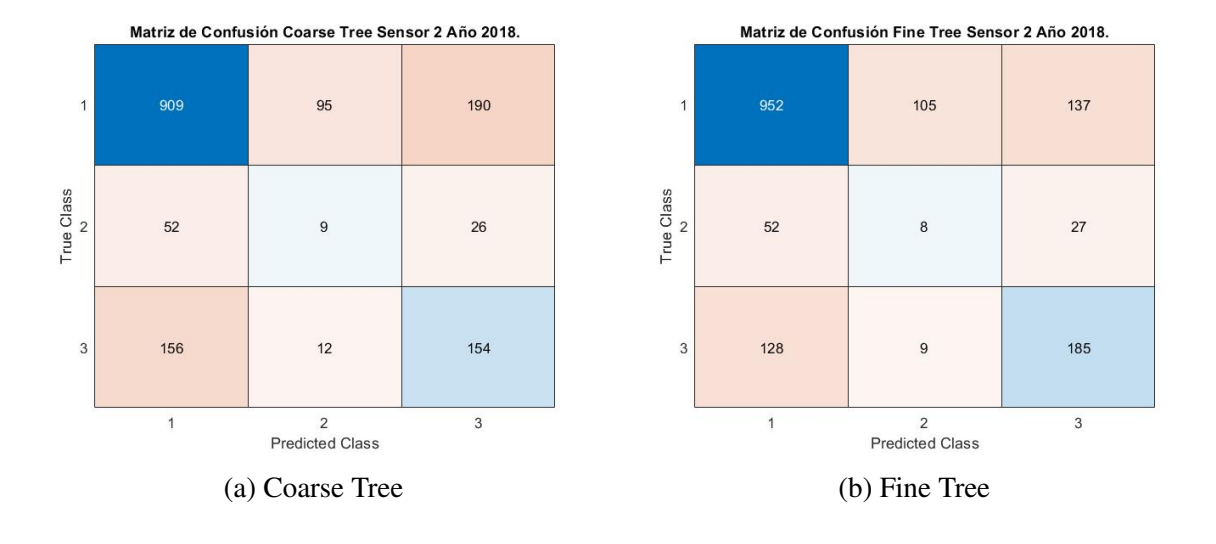


Figura 7.9: Matrices de Confusión SVM Pt 2 2018



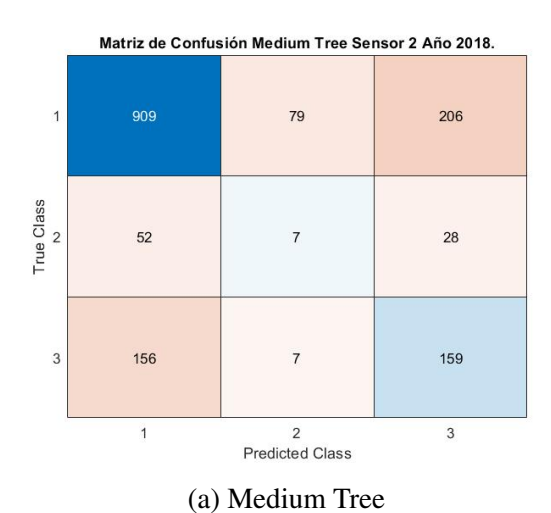
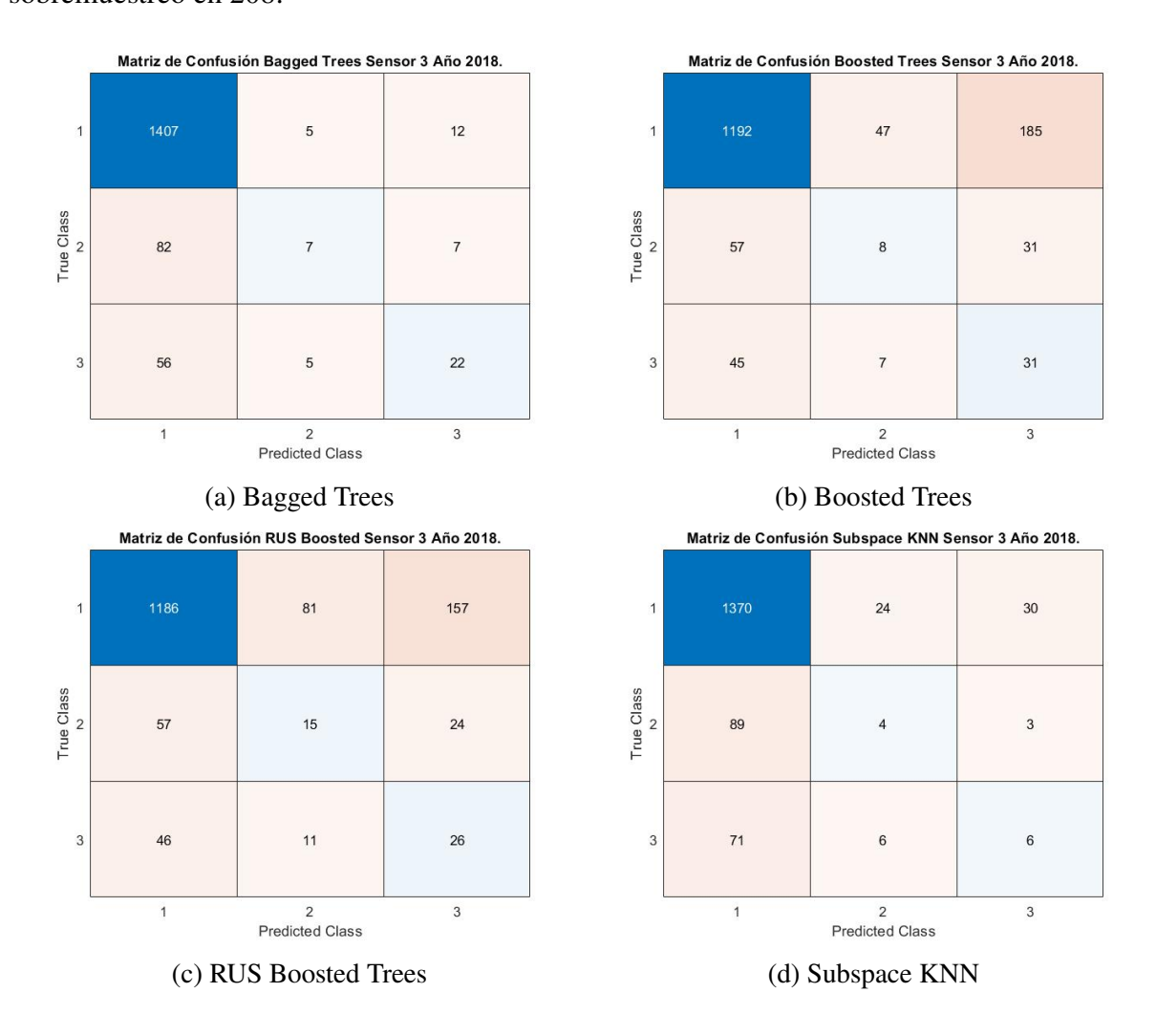
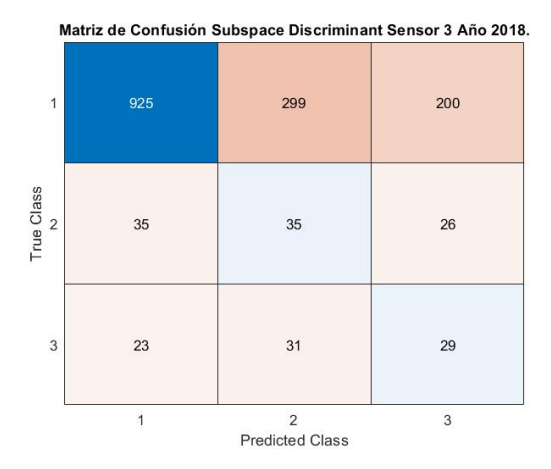


Figura 7.11: Matrices de Confusión Trees Pt 2 2018

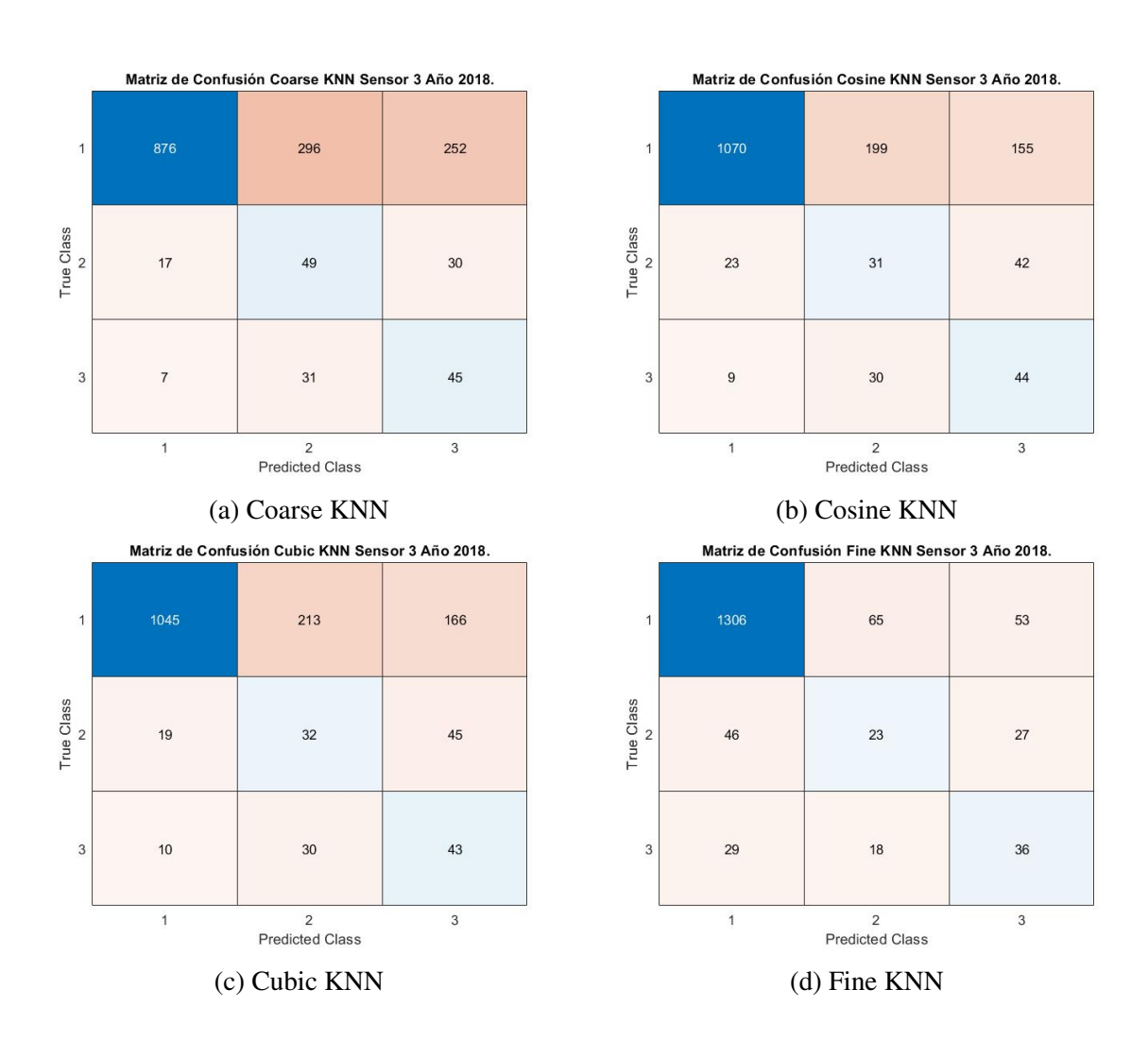
Por último, en el sensor tres hemos obtenido las siguientes matrices de confusión mediante sobremuestreo en 208:





(e) Subspace Discriminant

Figura 7.12: Matrices de Confusión Ensemble Pt 3 2018



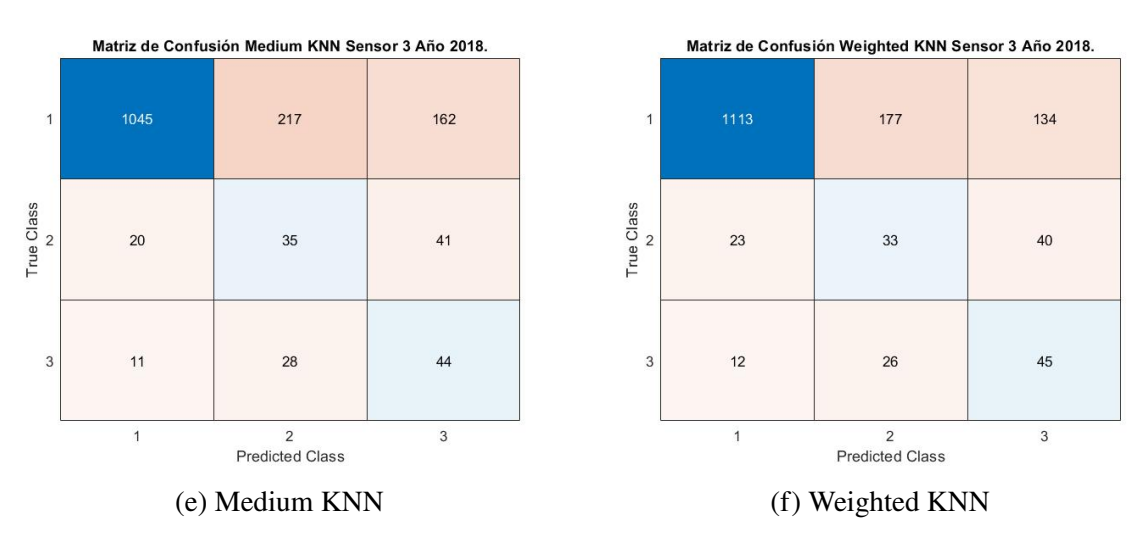
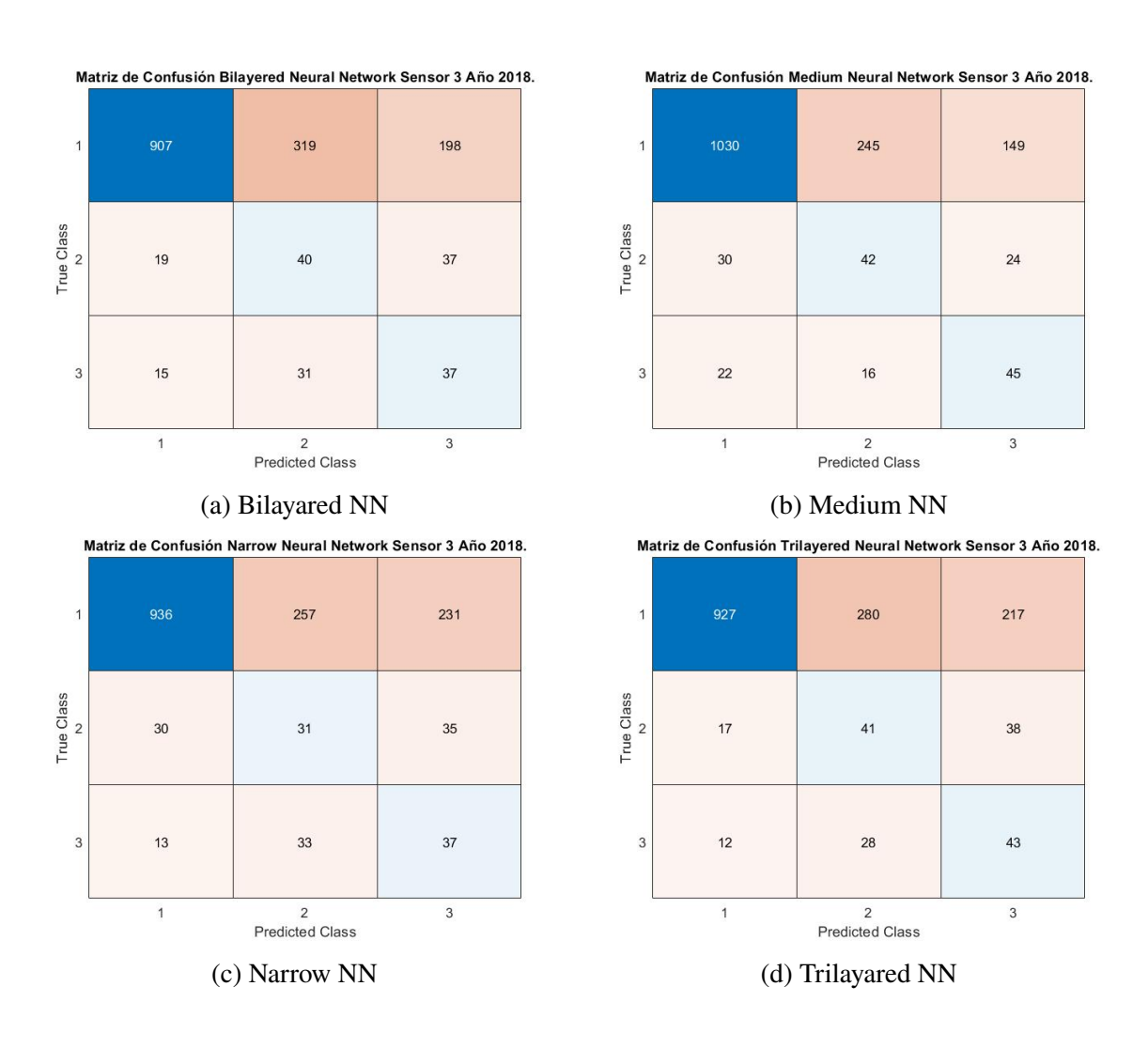


Figura 7.13: Matrices de Confusión KNN Pt 3 2018



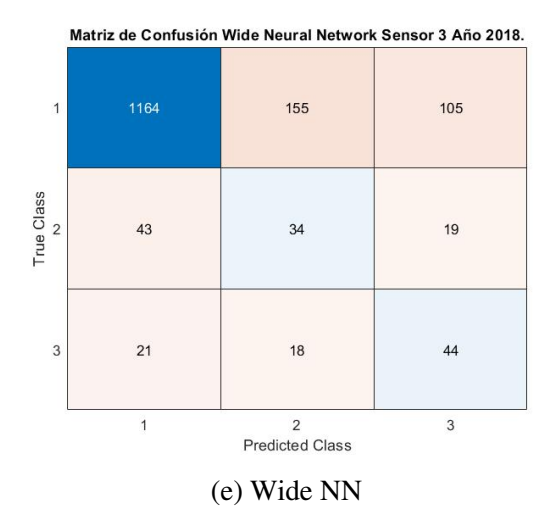
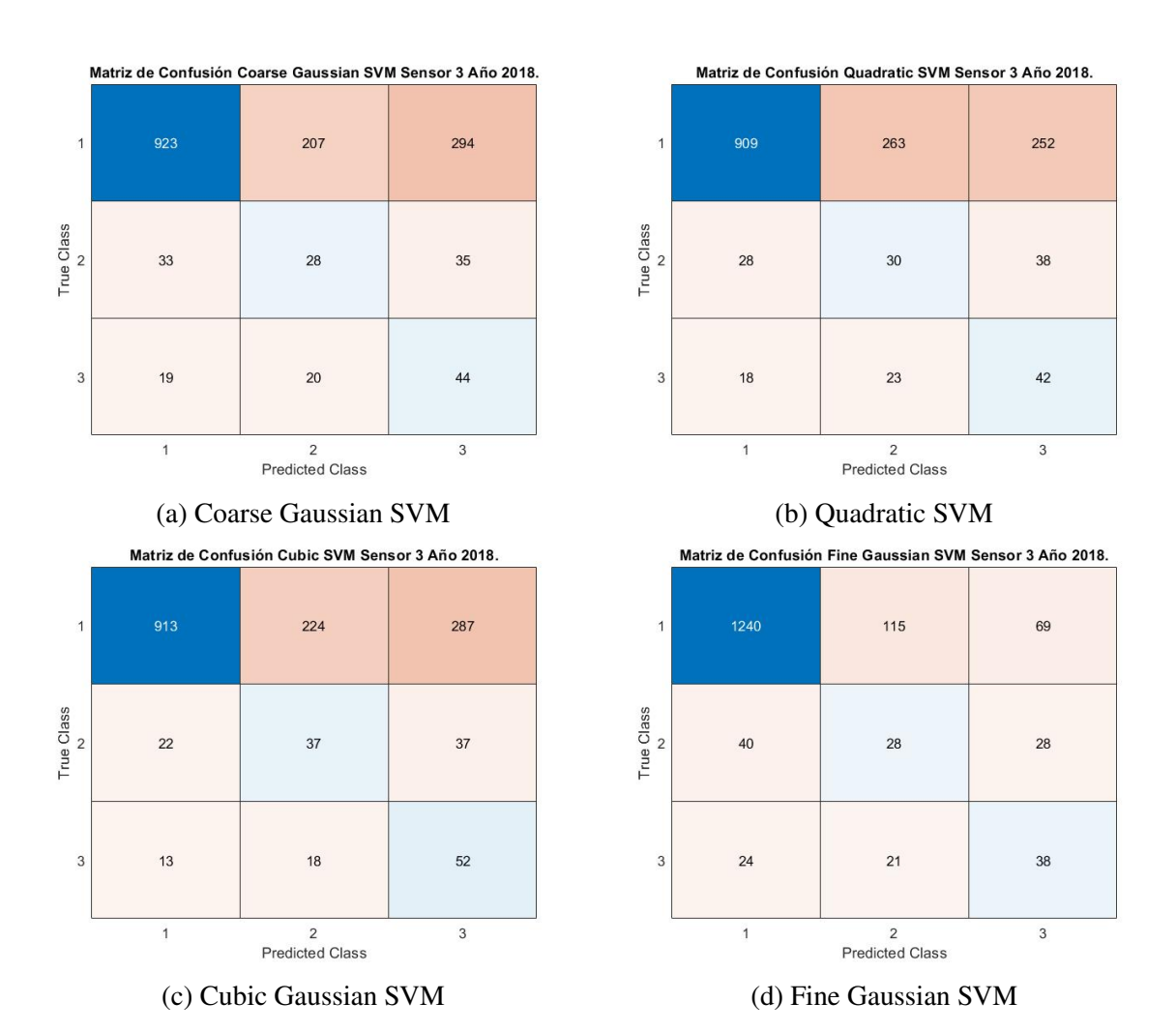


Figura 7.14: Matrices de Confusión Neural Network Pt 3 2018



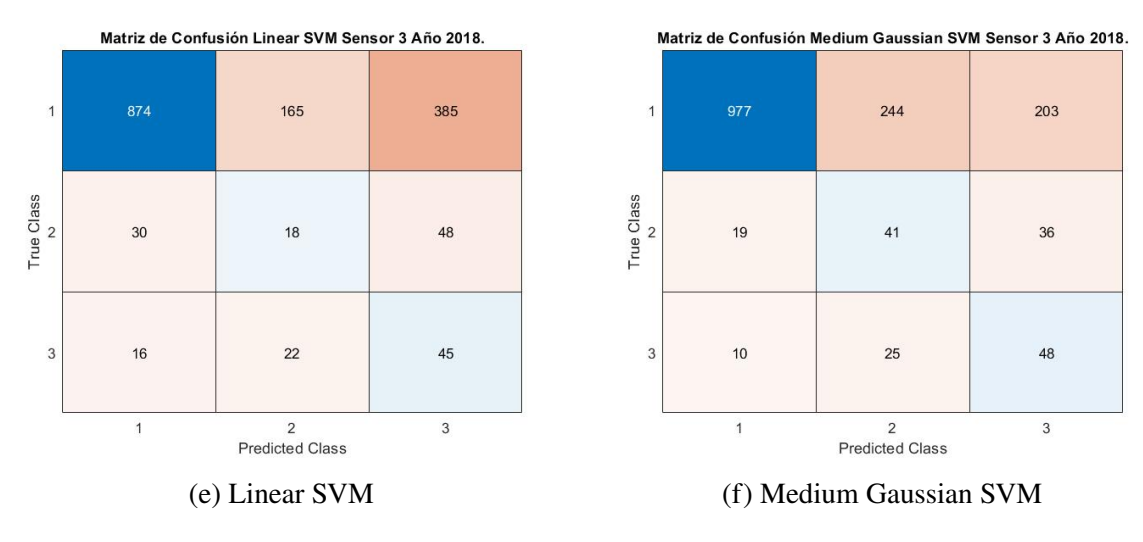


Figura 7.15: Matrices de Confusión SVM Pt 3 2018

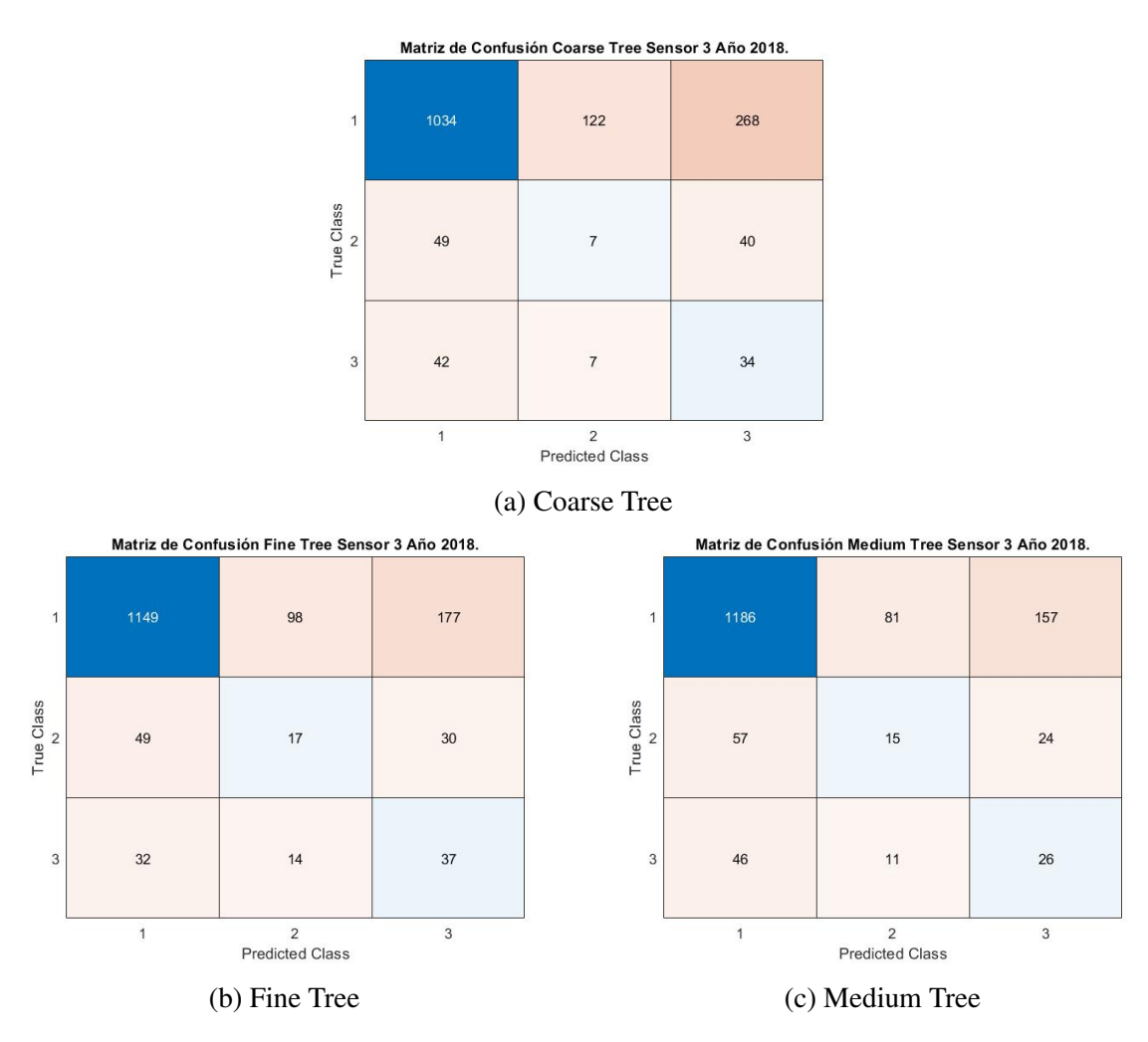


Figura 7.16: Matrices de Confusión Trees Pt 3 2018

Ahora vamos a mostrar las matrices obtenidas mediante submuestreo en 2018, empezando con las del punto 1:

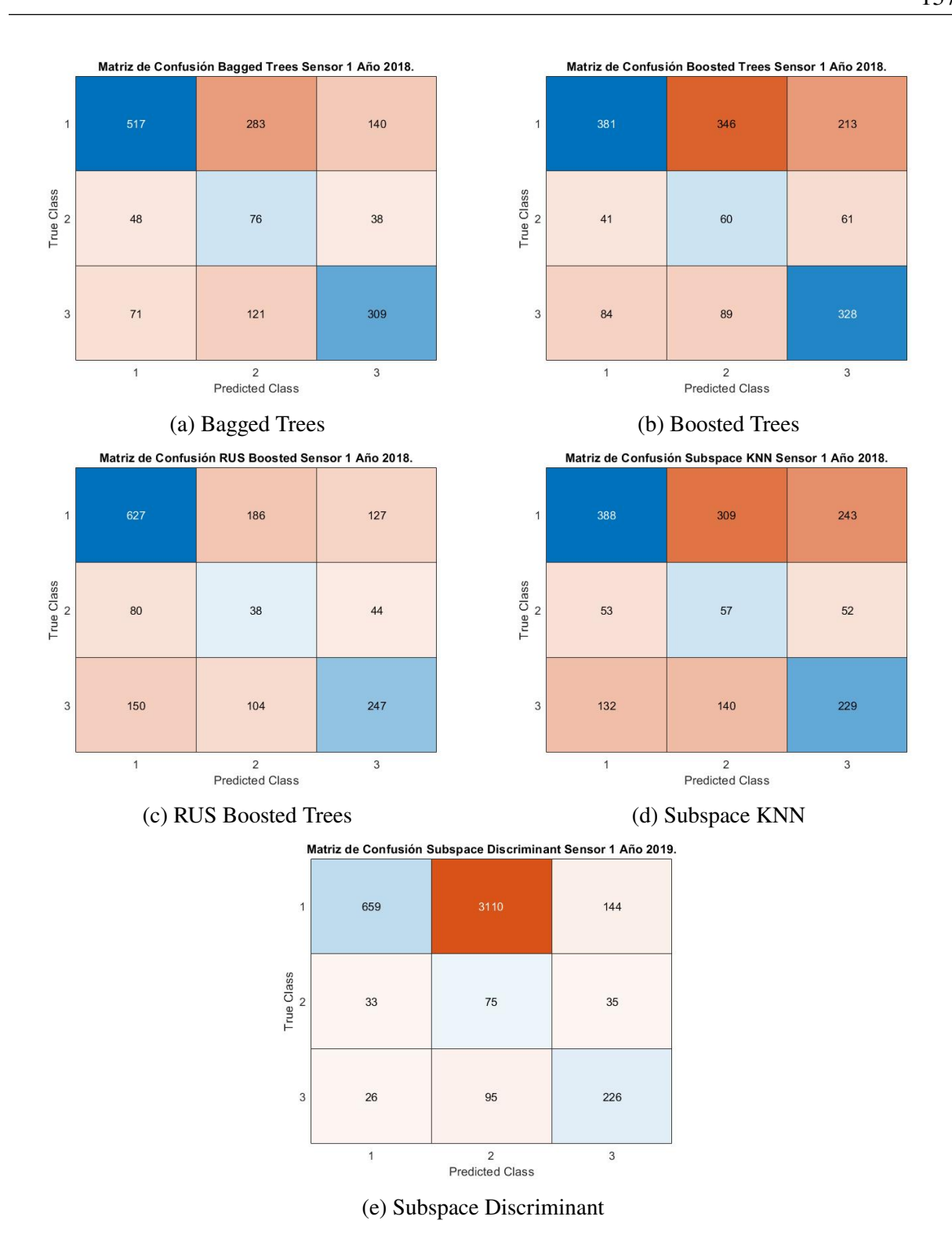


Figura 7.17: Matrices de Confusión Ensemble Pt 1 2018

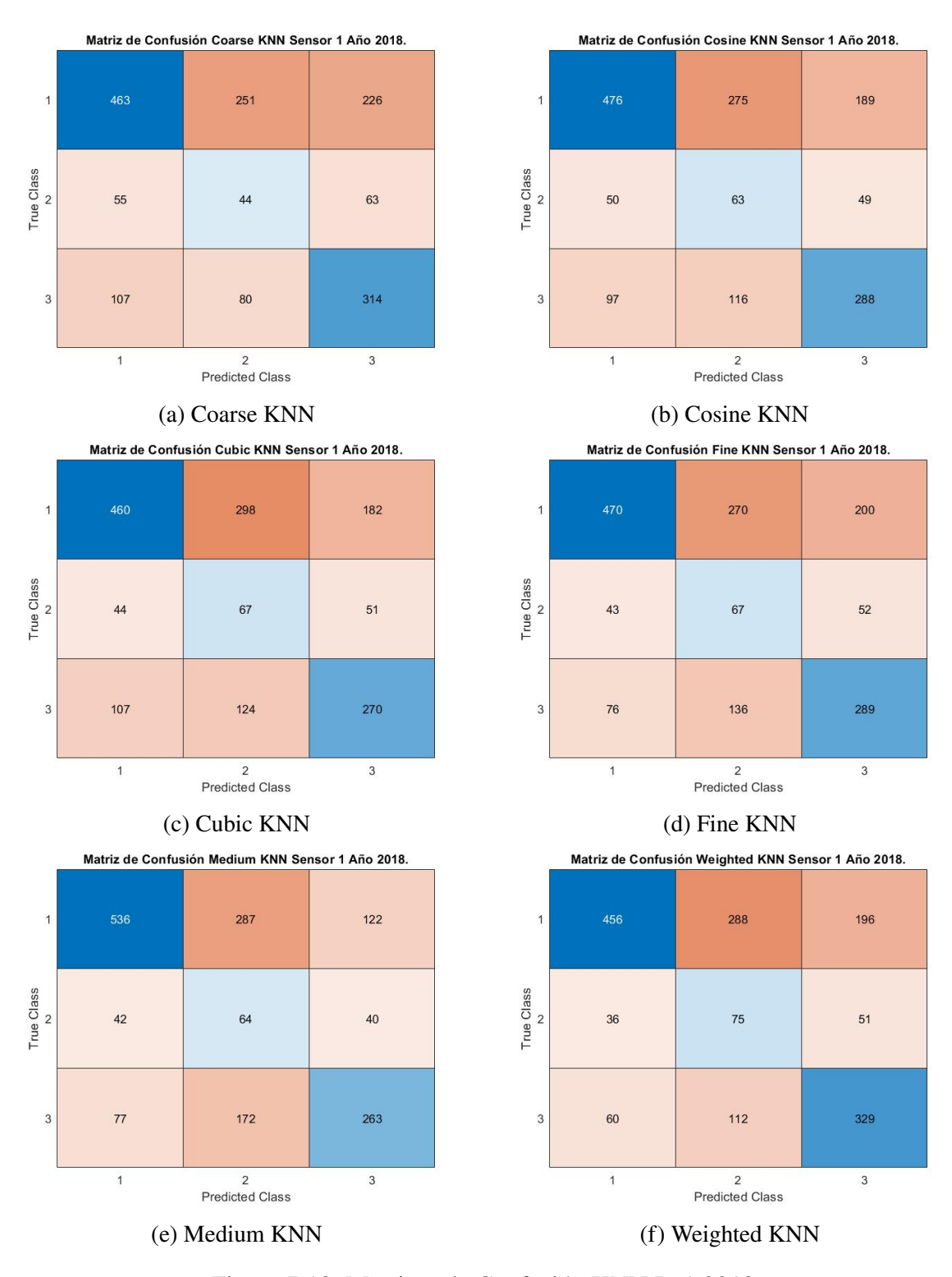


Figura 7.18: Matrices de Confusión KNN Pt 1 2018

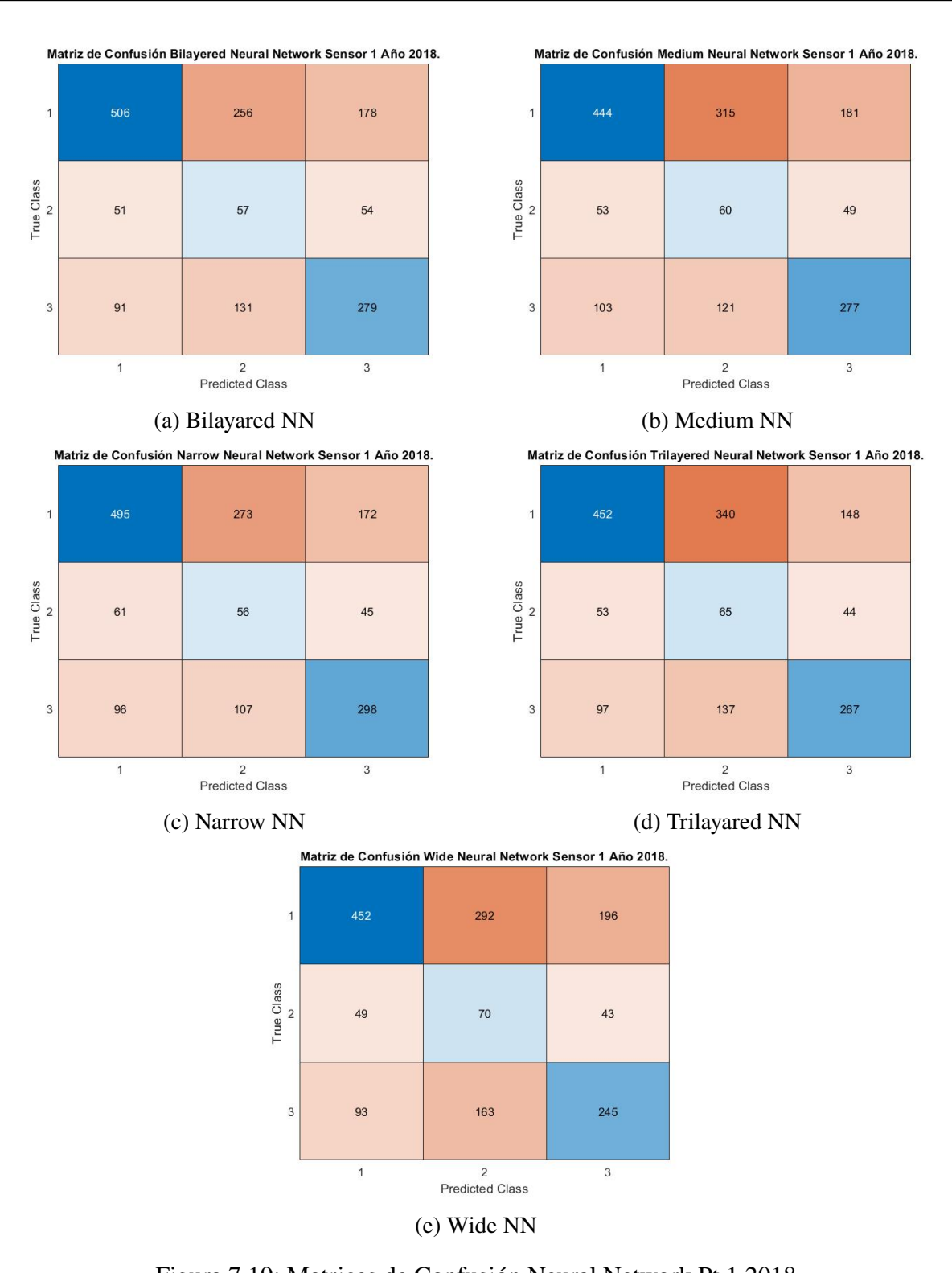


Figura 7.19: Matrices de Confusión Neural Network Pt 1 2018

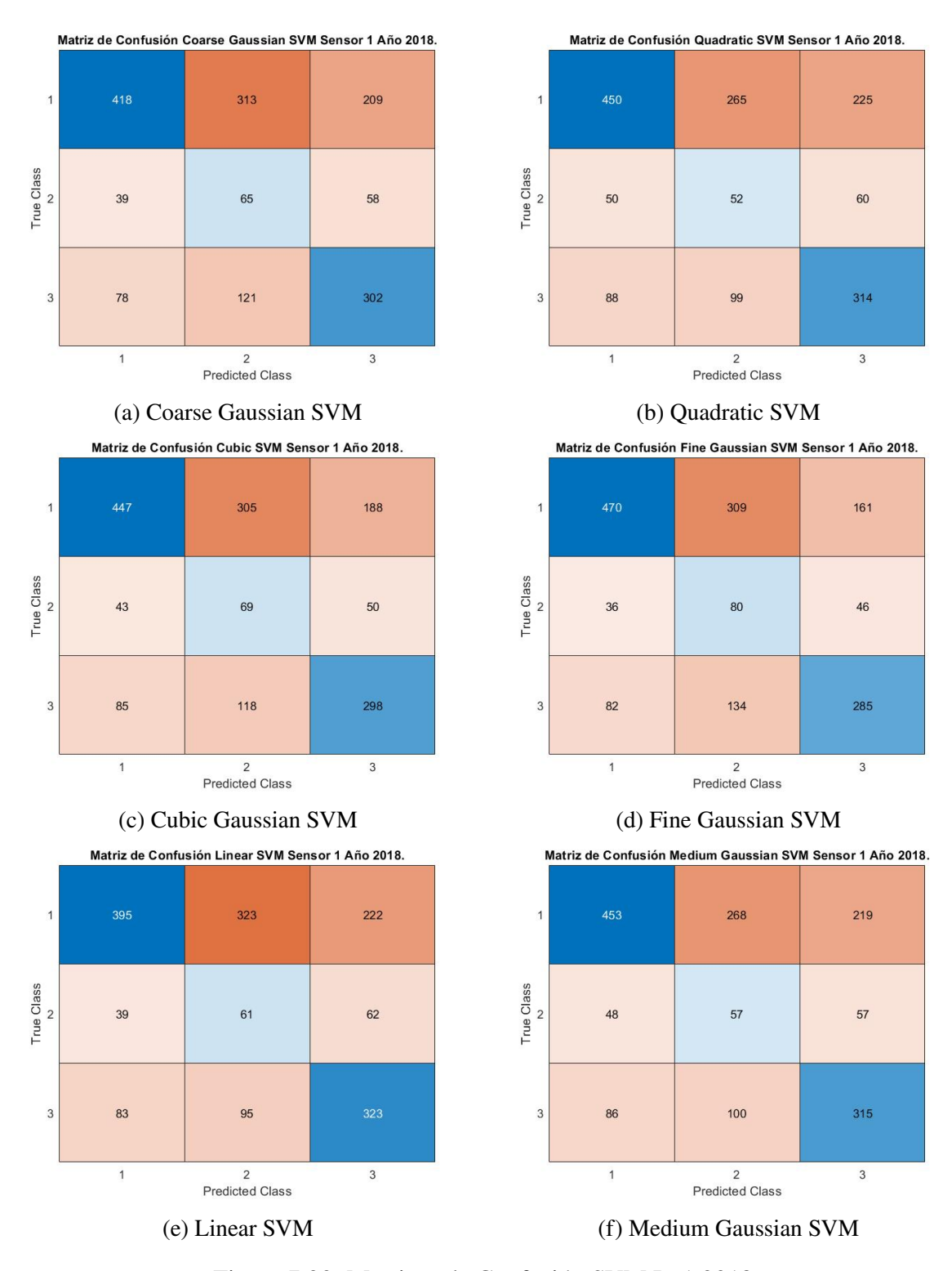


Figura 7.20: Matrices de Confusión SVM Pt 1 2018

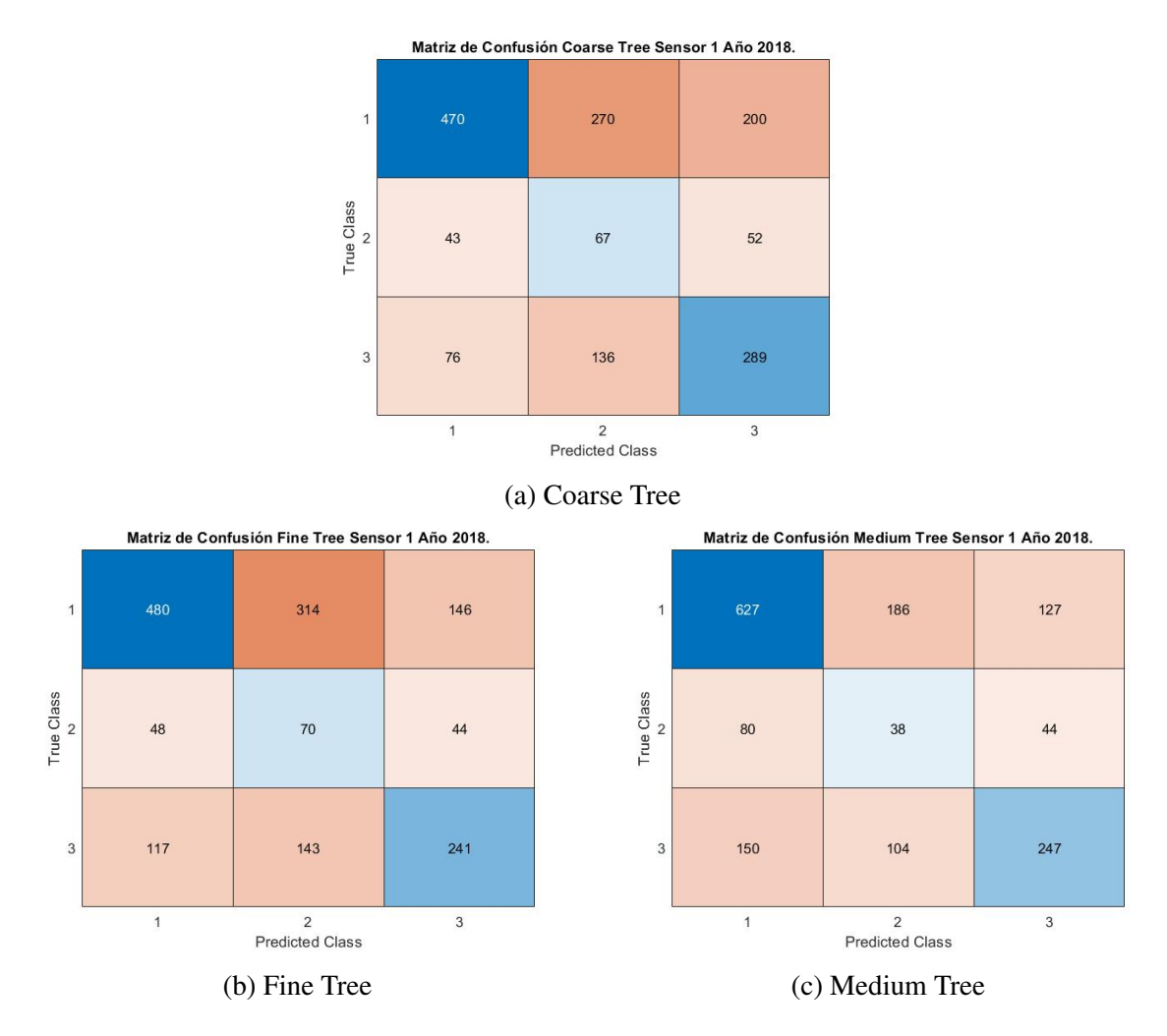


Figura 7.21: Matrices de Confusión Trees Pt 1 2018

Ahora vamos a mostrar las matrices del sensor dos obtenidas mediante submuestreo en 2018:

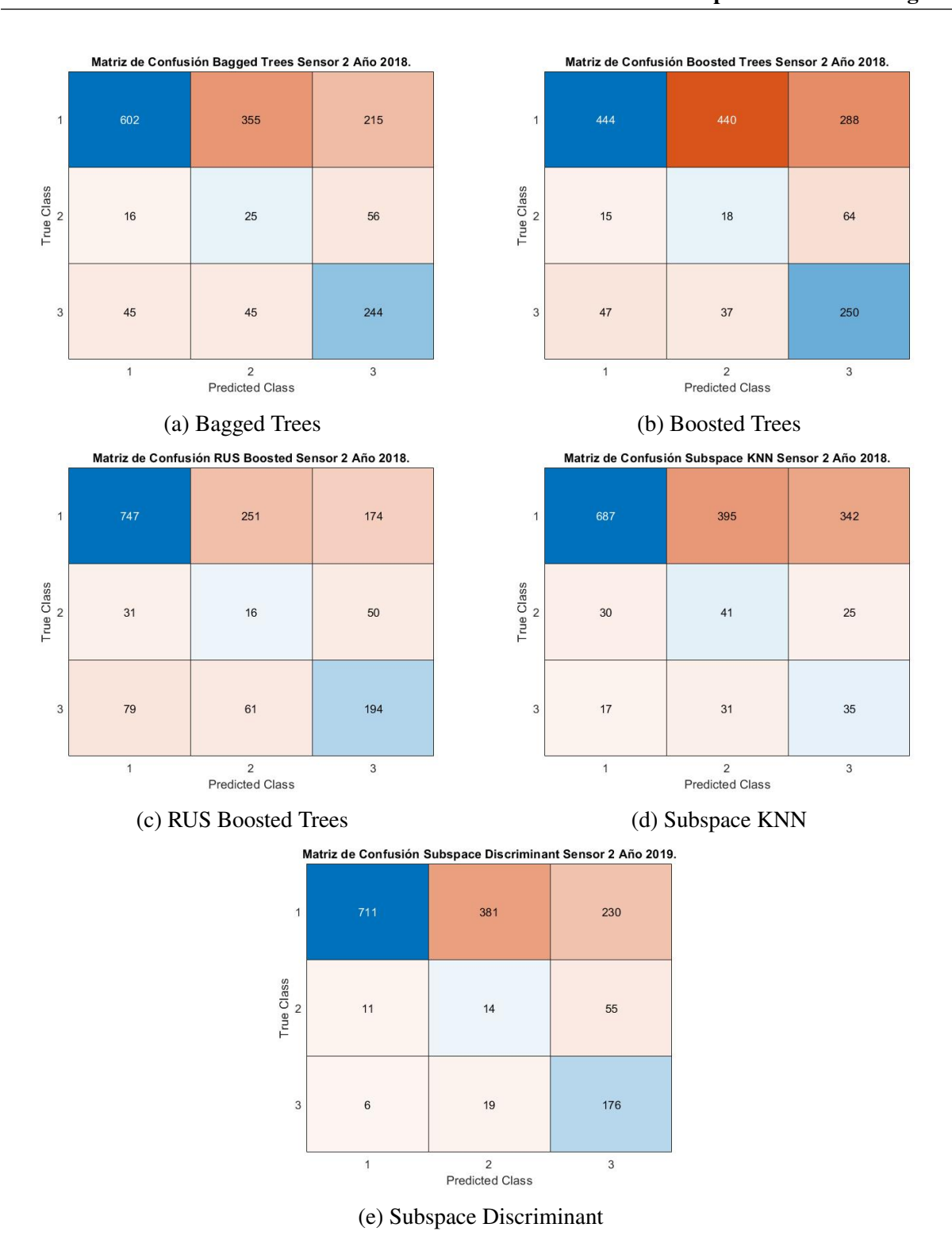


Figura 7.22: Matrices de Confusión Ensemble Pt 2 2018

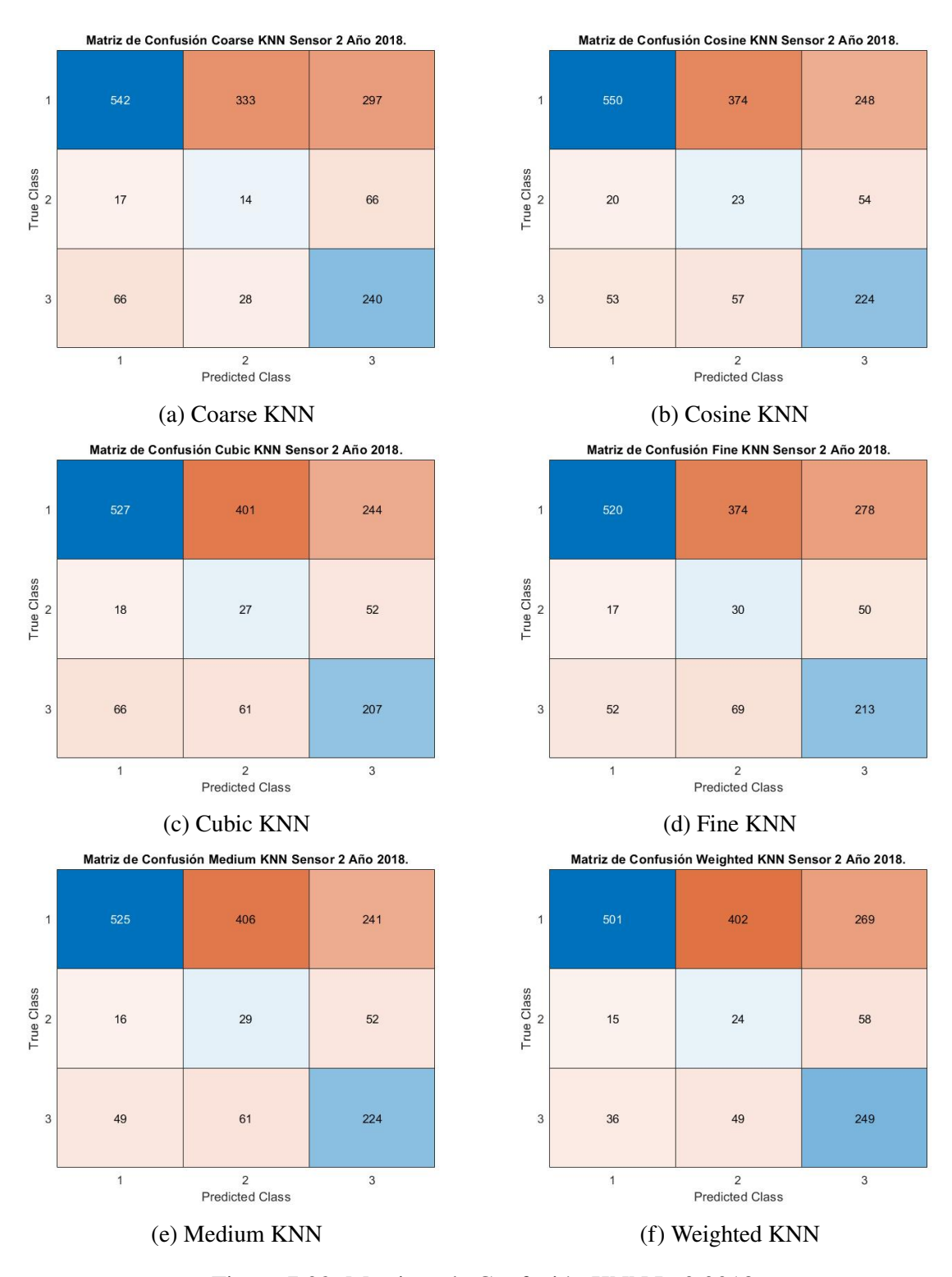


Figura 7.23: Matrices de Confusión KNN Pt 2 2018

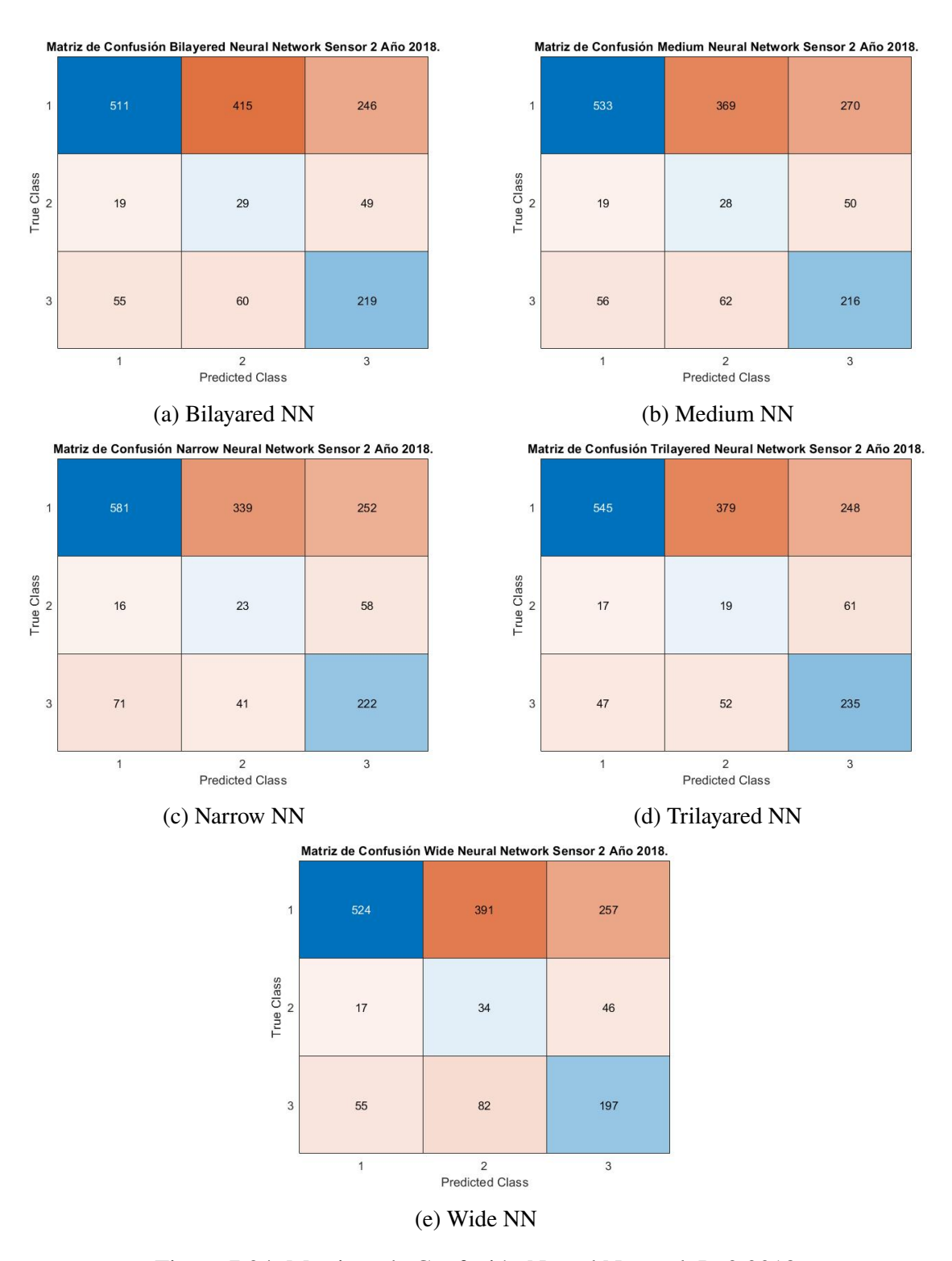


Figura 7.24: Matrices de Confusión Neural Network Pt 2 2018

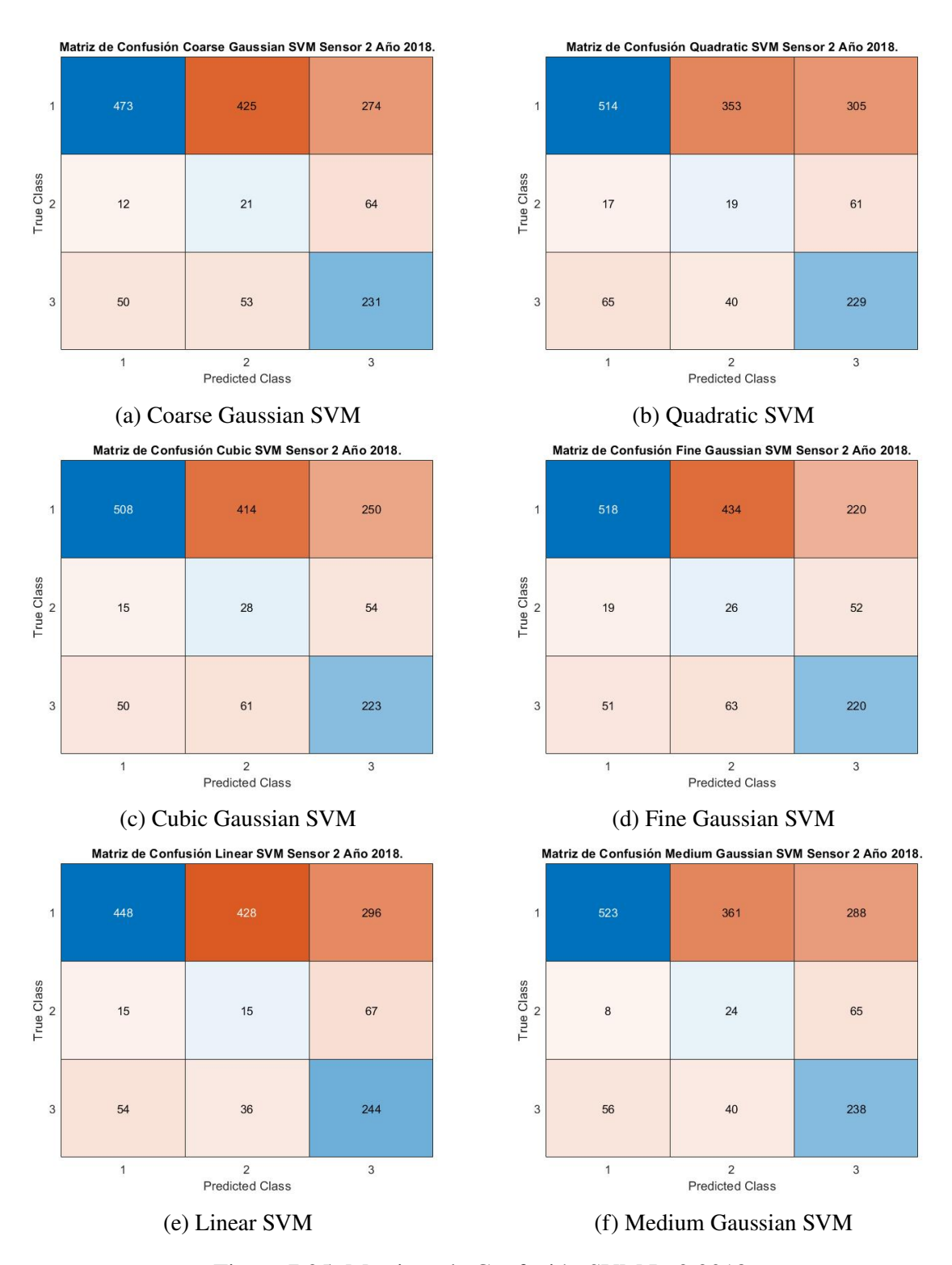


Figura 7.25: Matrices de Confusión SVM Pt 2 2018

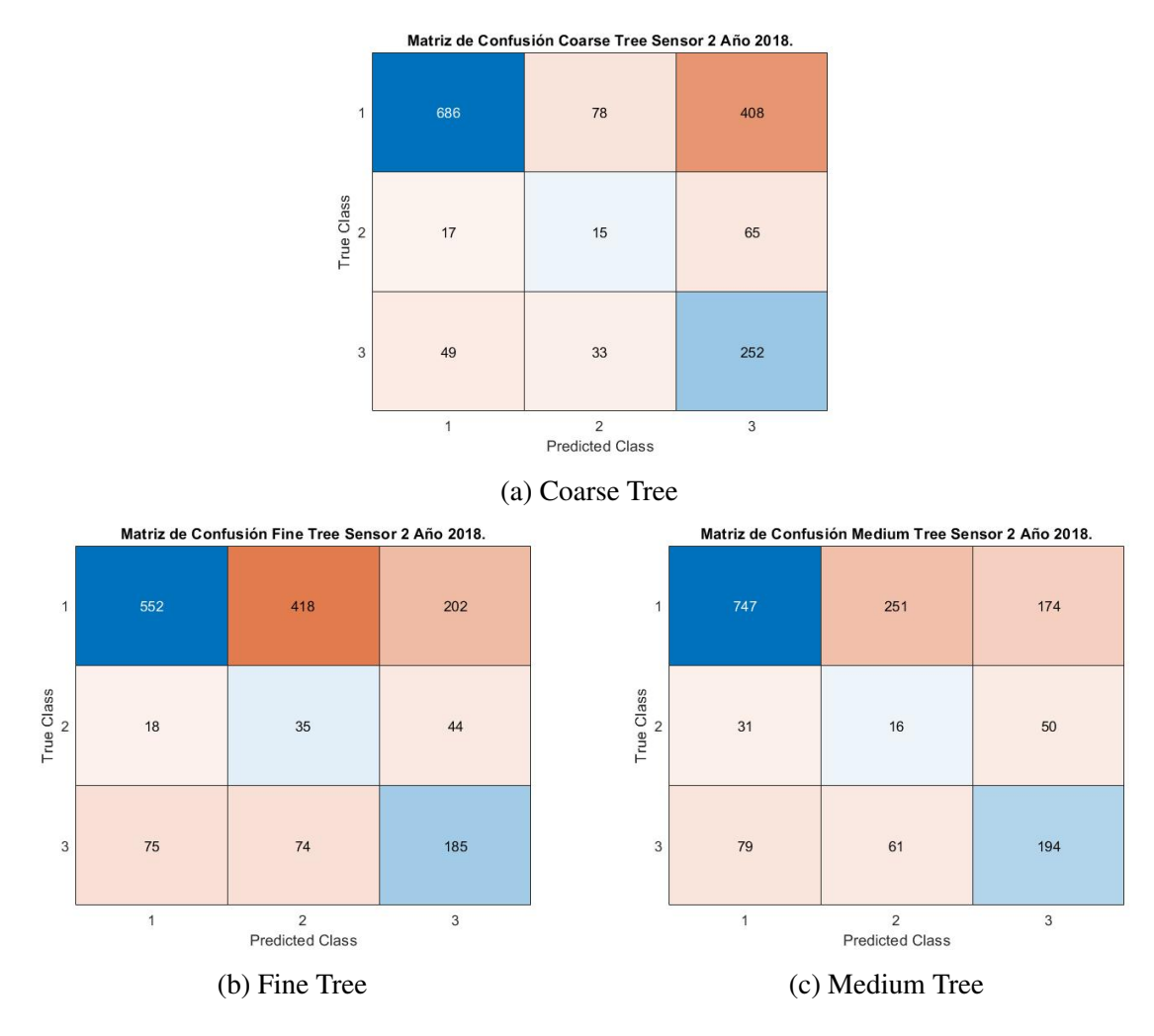
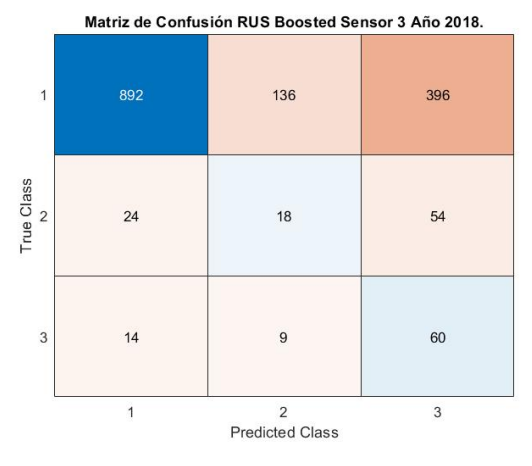
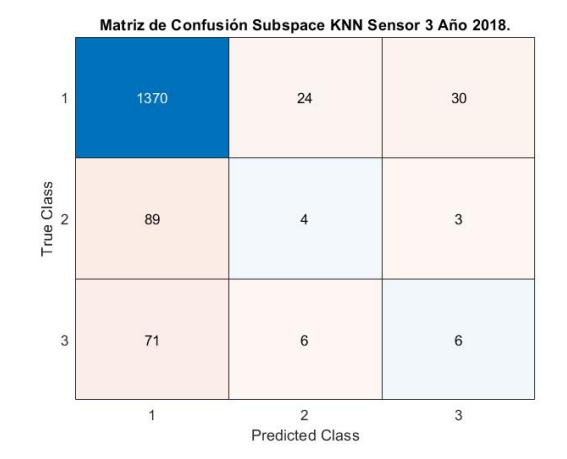


Figura 7.26: Matrices de Confusión Trees Pt 2 2018

Por último, vamos a representar las matrices obtenidas por el sensor tres mediante submuestreo en 2018:

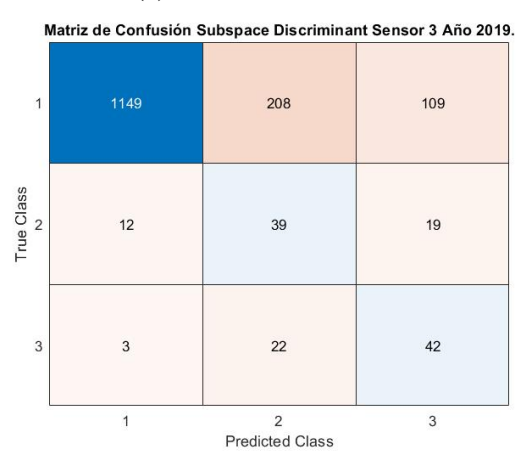






(d) Subspace KNN

(c) RUS Boosted Trees



(e) Subspace Discriminant

\_

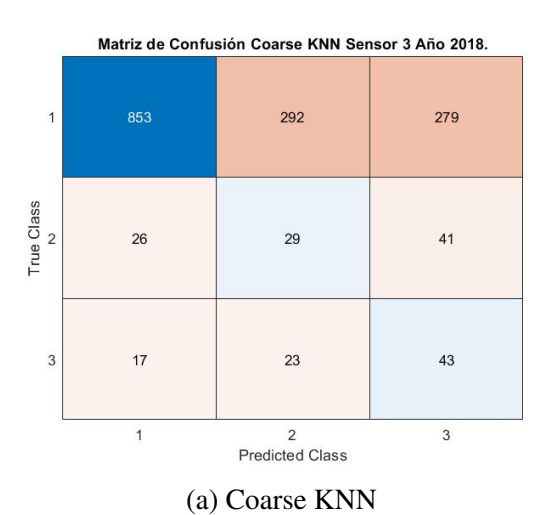
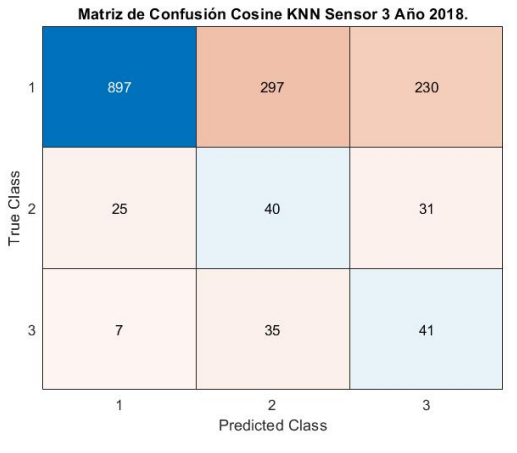


Figura 7.27: Matrices de Confusión Ensemble Pt 3 2018



(b) Cosine KNN

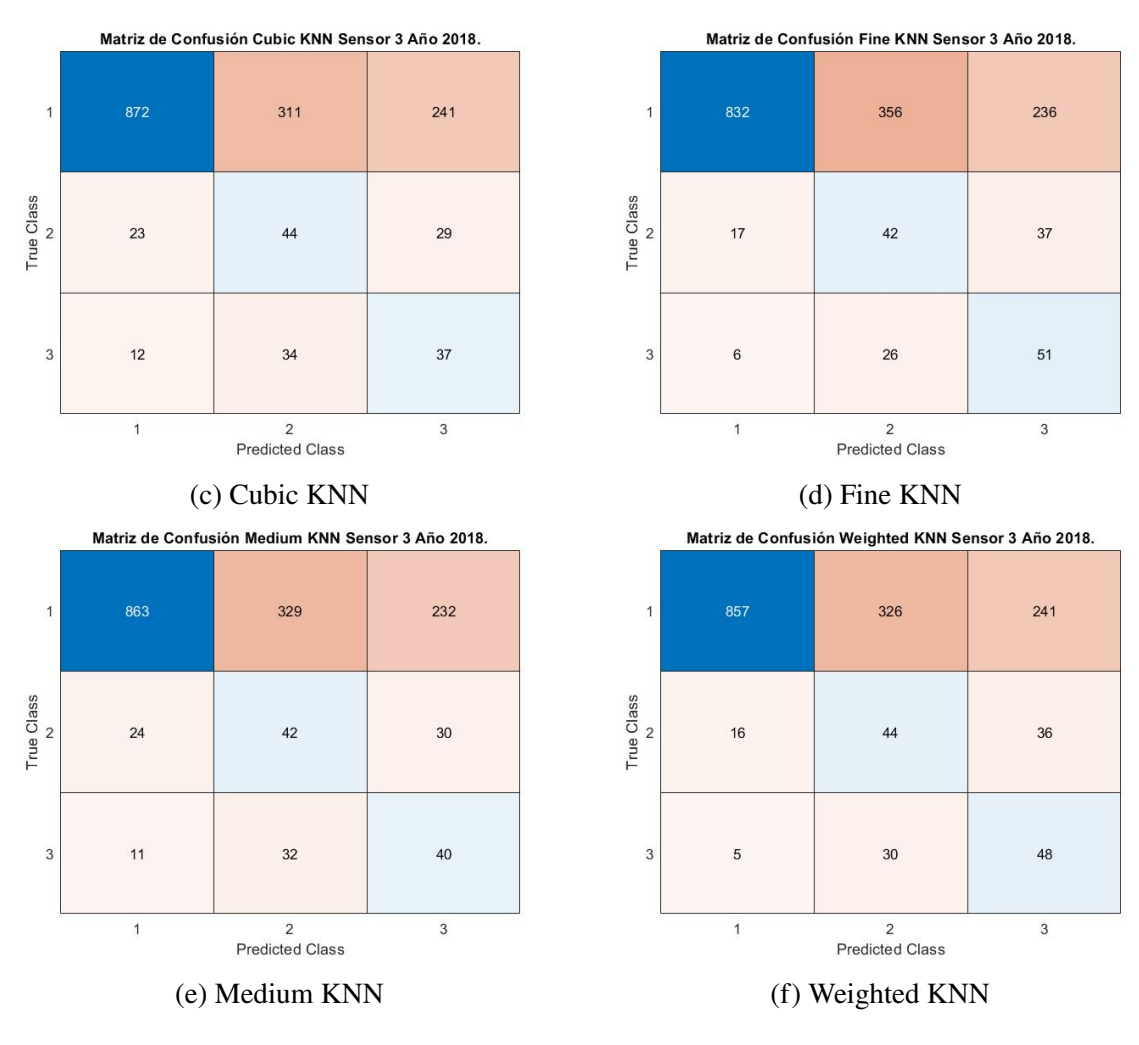
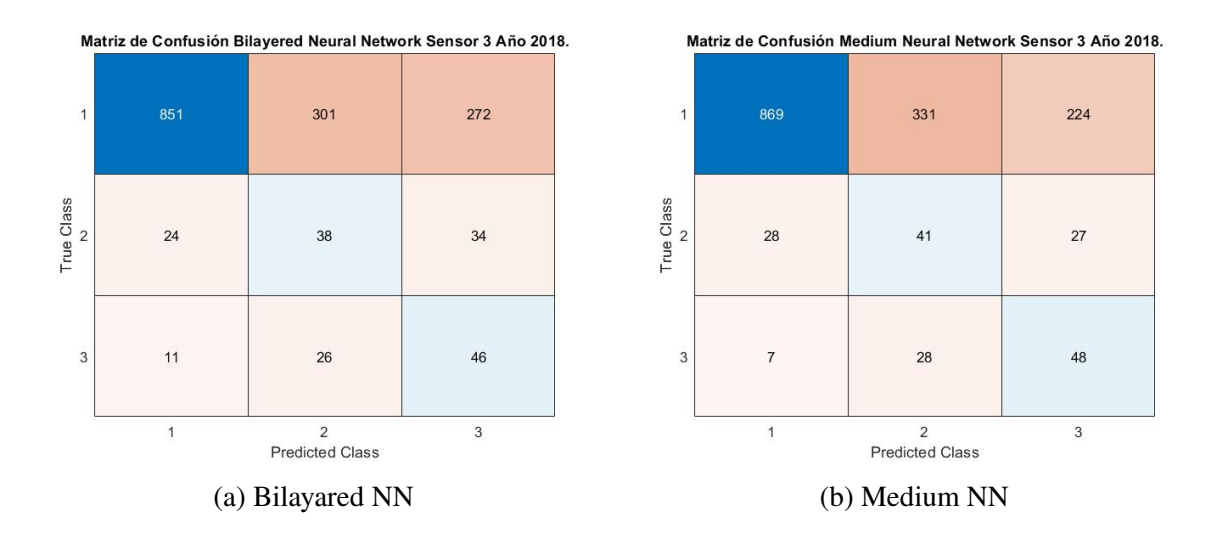


Figura 7.28: Matrices de Confusión KNN Pt 3 2018



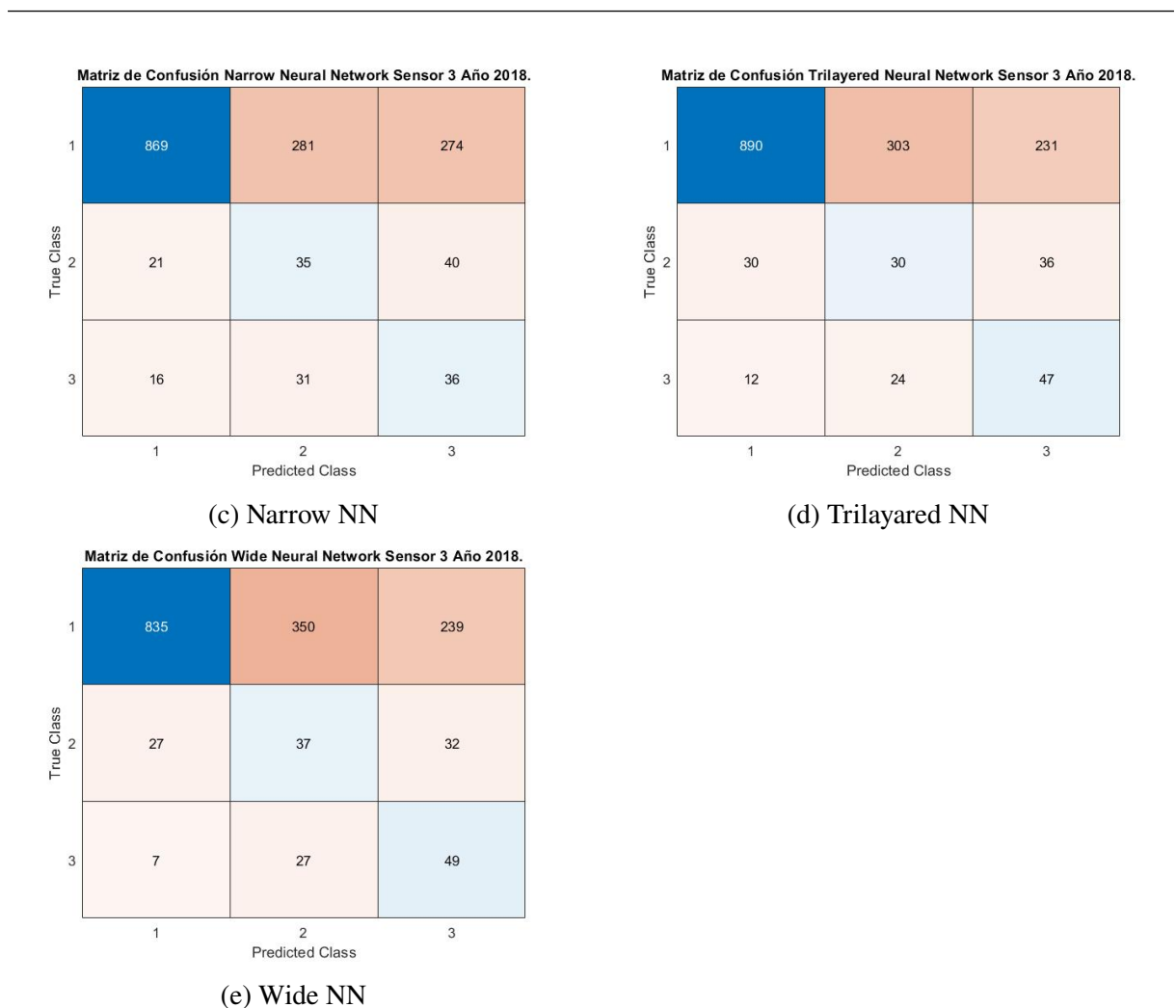
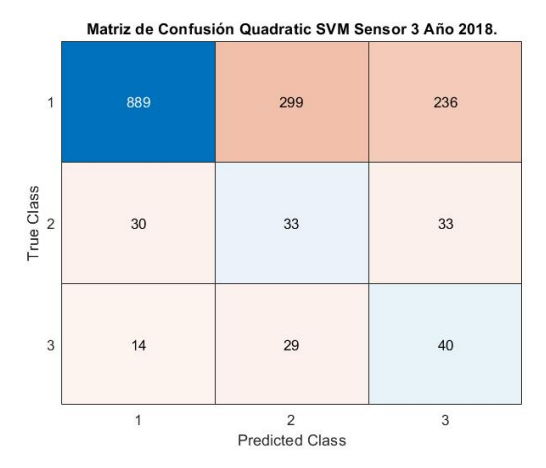


Figura 7.29: Matrices de Confusión Neural Network Pt 3 2018







(b) Quadratic SVM

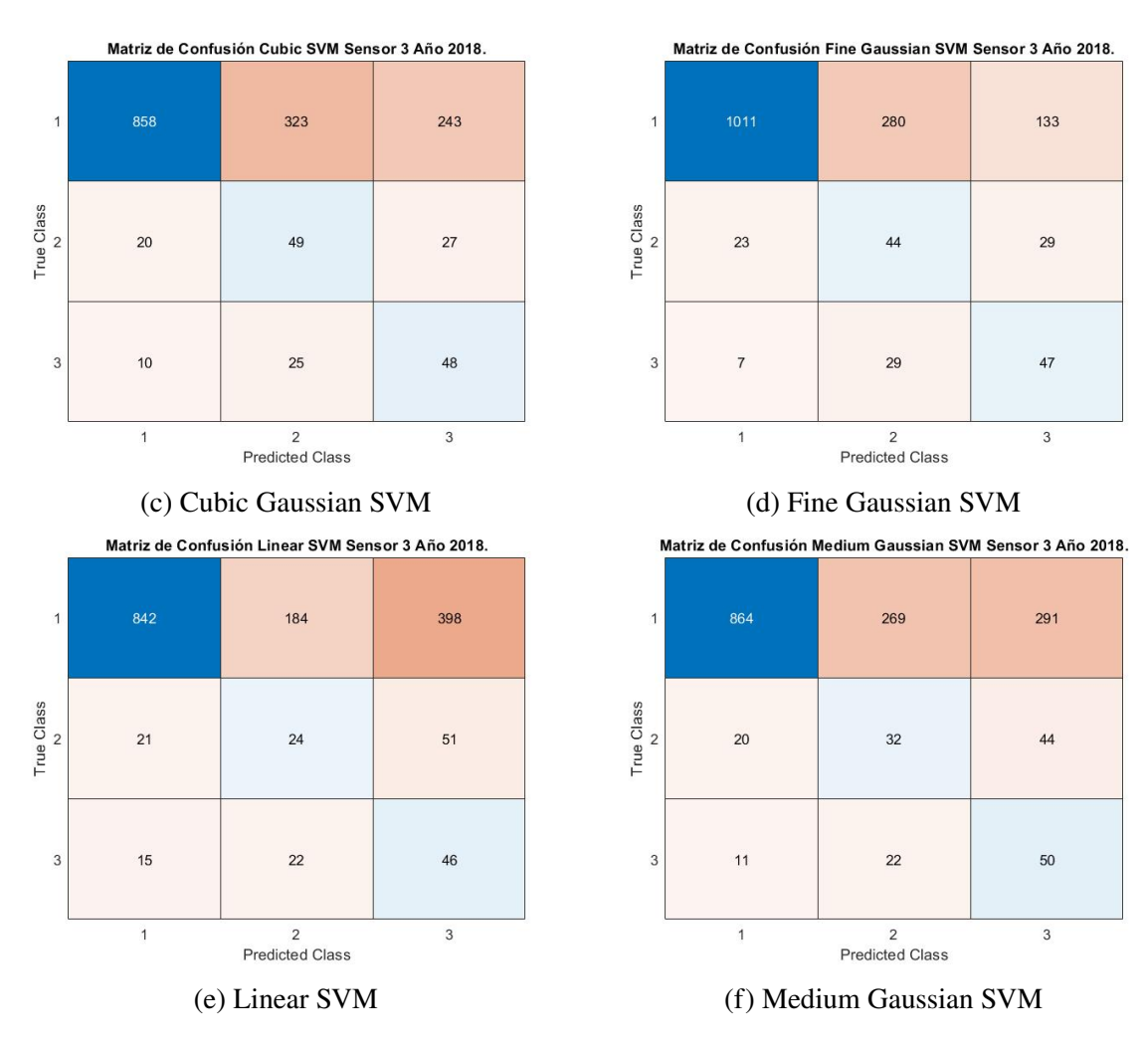
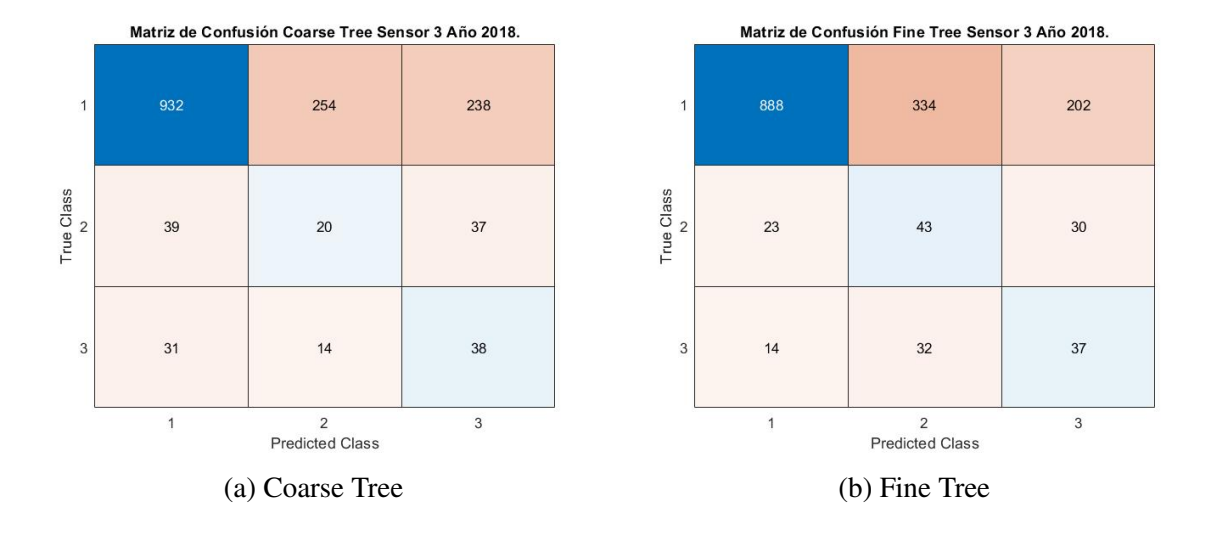


Figura 7.30: Matrices de Confusión SVM Pt 3 2018



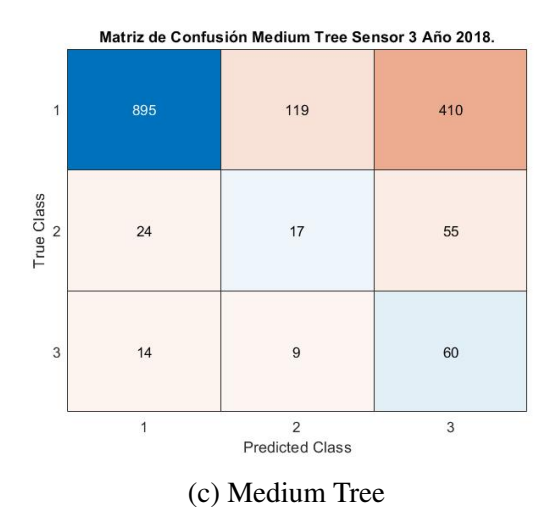


Figura 7.31: Matrices de Confusión Trees Pt 3 2018

Ahora vamos a representar las matrices de confusión obtenidas en 2019, empezando por las del método sobremuestreo en el sensor uno:

